

*24528*

T.C.  
SELÇUK ÜNİVERSİTESİ  
SAĞLIK BİLİMLERİ ENSTİTÜSÜ

# **KONJENİTAL PES EKİNOVARUS'TA DERİOYMACIĞI BULGULARI**

**(DOKTORA TEZİ)**

**Biolog Ahmet Bülent TURHAN**

Tıbbi Biyoloji Anabilim Dalı

Danışman

**Prof. Dr. Ferhan PAYDAK**

T. C.  
Yükseköğretim Kurulu  
Dokümantasyon Merkezi

## İÇİNDEKİLER

### BÖLÜM I

Giriş .....	1
-------------	---

### BÖLÜM II

Literatür Bilgi .....	3
1. Derioymacıkları ile ilgili genel bilgi .....	3
1.1. Derioymacıklarının embriyogenez ve genetiği .....	3
1.2. Derioymacıgı kayıt metodları .....	8
1.2.1. Standart metodlar .....	8
1.2.1.1. Mürekkepli metodlar .....	8
1.2.1.2. Mürekkepsiz Metodlar .....	9
1.2.1.3. Saydam Yapıstırıcı Band Metodu .....	9
1.2.1.4. Fotoğraf Metodu .....	9
1.2.2. Özel Metodlar .....	9
1.2.2.1 Higrofotografi .....	10
1.2.2.2. Radiodermatografi.....	10
1.2.2.3. Plastik Kalıp.....	10
1.2.2.4. Otomatik Örnek Tanıma.....	10
1.3. Derioymacıgı Örnek Şekillenmeleri .....	10
1.3.1. Parmak uçlarındaki şekillenmeler .....	10
1.3.2. Derioymacıgı Ölçütleri .....	13
1.3.3. El Ayaları Palmar Örnek Şekillenmeleri .....	15
1.4. Ayak tabanı plantar örnek şekillenmeleri.....	20
1.5. Derioymacıgı örnekleri ve fleksiyon çizgilerinin uygulama alanları .....	21
2. Pes ekinovarus ile ilgili literatür bilgisi .....	22

## BÖLÜM III

Materyal ve Metod .....	24
-------------------------	----

## BÖLÜM IV

Bulgular .....	27
----------------	----

1. El Parmak Uçlarındaki Örnek Tipleri İle İlgili Bulgular .....	27
--	----

2. El Parmak Uçlarındaki Çizgi Sayıları İle İlgili Bulgular .....	28
---	----

3. Elin Palmar Yüzeyindeki Örnek Tipleri İle İlgili Bulgular .....	28
--	----

4. Avuç İçerisindeki En Geniş atd Açısı İle İlgili Bulgular.....	29
--	----

5. Palmar a-b, b-c ve c-d Çizgi Sayıları İle İlgili Bulgular .....	29
--	----

6. Avuç İçindeki Simian ve Sidney Çizgileri ve Bunların	
---	--

Varyantları İle İlgili Bulgular.....	30
--------------------------------------	----

7. Elin Palmar Yüzeyindeki Temel Çizgi Sonlanmaları İle İlgili	
--	--

Bulgular .....	31
----------------	----

8. Ayak Tabanı Örnekleri İle İlgili Bulgular .....	32
--	----

Bulgular İle İlgili Tablolar .....	33
------------------------------------	----

## BÖLÜM V

Tartışma ve Sonuç .....	41
-------------------------	----

## BÖLÜM VI

Özet .....	43
------------	----

Summary.....	44
--------------	----

## BÖLÜM VII

Literatür.....	45
----------------	----

Özgeçmiş .....	48
----------------	----

Teşekkür .....	49
----------------	----

## BÖLÜM I

### GİRİŞ

İnsanların parmak uçlarında, el ayası ve ayak tabanındaki deri düz olmayıp, değişik biçimde çizgi şekilleri gösteren oluklu bir yapısı vardır. Bu çizgi şekillenmelerine ve çizgiler ile ilgili çalışmalara dermatogifik (**derma** = deri ve **glyp'e=oymacık**"derioymacıgı") adı verilmişdir (15).

Arkeolojik çalışmalar derioymacıklarına olan ilgiyi ortaya çıkarmıştır. 2000 yıl önce parmak ucu çizgilerinin kimlik teşhisinde kullanıldığı, el ayasındaki şekillenmelerin sanatçılara eserlerinde, falcılara ise kişilerin kaderlerini okumada ilham kaynağı olduğu görülmektedir. Bu konuda ilk dökümanlar Çin'de bulunmuştur. Asur ve Babil halkın da konuya ilgi duydukları bulunan belgelerden anlaşılmaktadır (16).

Derioymacıkları ile ilgili bilimsel çalışmaların öncüsü Grew'dir (7). Malpighi parmak uçlarındaki şekillenmeleri çalışmış, parmak izlerinin sınıflandırılmasını ilk olarak Purkinje yapmıştır (16). Faulds'un çalışmalarından sonra parmak izleri kimlik saptanmasında daha sağlıklı bir şekilde kullanılmıştır (30). Galton dermal örneklerin morfolojis, sınıflandırılması ve ırklara göre değişimiyle ilgili çalışmalara önderlik etmiş, bunu Wilder'in araştırmaları izlemiştir. Cummins 1936'da Down sendromlarda yaptığı çalışmasıyla derioymacıklarının tiptaki önemini göstermiştir (13, 14). Bu çalışmadan sonra tıp alanında derioymacıkları ile ilgili çalışmalar yaygınlaşmıştır. Günümüzde derioymacıkları birçok kalitsal hastalık ve kromozom kusurunun belirlenmesinde yardımcı tanı yöntemi olarak kullanılmaktadır. Atasu, Türkiye'de Down sendromlarının derioymacıklarıyla yaptığı araştırmasıyla dermatogifik çalışmaların öncüsü olmuştur (2).

Konjenital pes ekinovarus deformitesi olan bireylerde dermatoglikan çalışmalarına Türkiye'de ve yurt dışında şimdije kadar rastlanılmıştır. Sunulan bu çalışmada, Türkiye'de pes ekinovarus deformitesi gösteren bireylerin derioymacığı bulgularının, deformitesi olmayan, sağlıklı kişilerin derioymacığı bulguları ile karşılaştırılarak her iki grup arasında dermal örnekler ile ilgili anlamlı bir farklılığın olup olmadığı ve varsa bu deformitenin deri oymacıkları ile bir bağlantısının bulunup bulunmadığının ortaya konulması amaçlanmıştır.

## BÖLÜM II

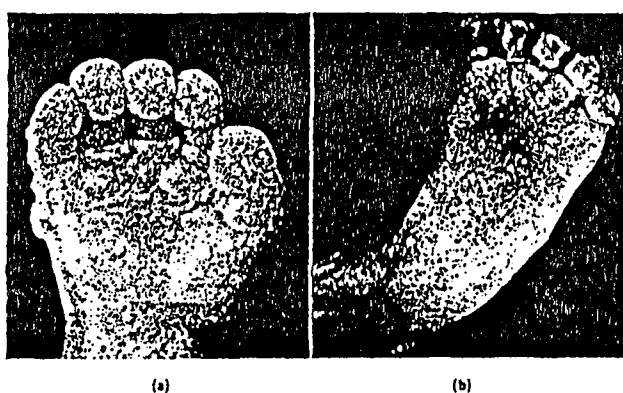
### LİTERATÜR BİLGİ

#### **1. Derioymacıkları ile ilgili genel bilgi**

Parmak ucu, el ayası ve ayak tabanındaki dermal çıkışlıklar şekil, büyülüklük, yapı ve sayı bakımından farklılık gösterirler.

#### **1.1. Derioymacıklarının embriyogenez ve genetiği**

İnsan fötüsünün gelişimi sırasında derideki çizgilerin farklılaşması erken başlar. Çizgilerin şekillenmesi genetik olarak belirlenir ve ayrıca çevresel etkenlerden etkilenir. Fötal volar tomurcuklar her parmağın metakarpal kemiğinin proksimal ucunun üstünde, interdigital bölgeler, el ve ayağın volar yüzeylerinin tenar ve hipotenar bölgelerinde bulunan mezenşim dokusunun tepe, tümsek biçiminde oluşumlardır. İlkincil fötal tomurcuklar proksimal falankslarda iki tanedir. Ayrıca, elin volar yüzeyinin ortasında bulunur (22), (Şekil 1). Bu tomurcukların şekillenmesi embriyo gelişiminin altıncı ve yedinci haftalarında ilk kez parmaklarda görülür. Bu tomurcuklar sonraki birkaç haftada fazla tümsekli görünümde dir. Tümsekler beşinci haftada tekrar küçülür ve altıncı haftada kaybolur. Bu süre içerisinde dermal çizgiler volar tomurcukların yerini alan özel örneklerde dönüşür. Bonnevieu volar tomurcukların büyülüklük ve pozisyonları kadar tomurcukların yaygın olup olmamalarının da papiller çizgi örneklerinin şekillenmesinden sorumlu olabileceğini düşünmüştür (10).



**ŞEKİL 1.** Parmak uçlarında, parmak arası bölgelerde, el ayasının tenar ve ayağın halukal bölgelerinde fötal volar tomurcuklar gösteren yaklaşık 70 günlük bir insan embriyosunun el (a) ve ayakları (b).

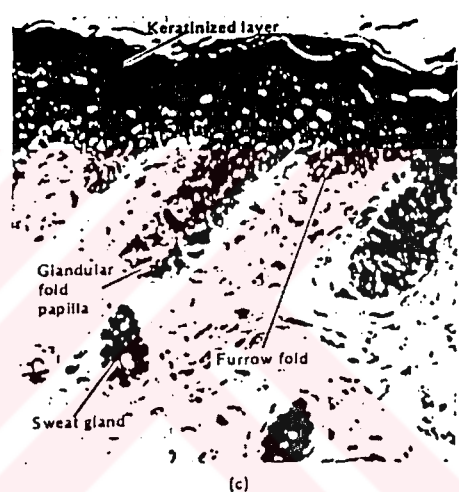
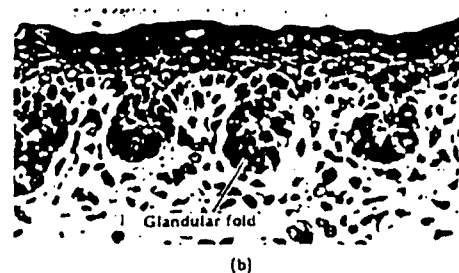
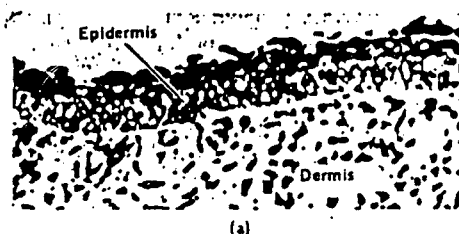
Örneğin, küçük tomurcuklardan basit bir örnek, kemer oluşurken, çok tümsekli tomurcuklardan büyük ve çok karmaşık çizgi dizileri, ilmek ve düğümler şekillenecektir. Aynı şekilde örnek bölgelerinin ortasında bulunan şekillenme, düğüm parmak ucunun volar tarafında simetrik olarak yer alan fötal tomurcuklardan oluşacak, örnek bölgeinde bulunan asimetrik tomurcuklar diğer örneklerle, tomurcuğun pozisyonuna göre ulnar ilmek veya radial ilmeğe dönüsecektir.

Papiller çizgilerin embriogenezi ayrıntılı olarak çalışılmıştır. Bu konuda son çalışmalar çizgi şekillenmesinden sorumlu gelişim mekanizması ve örneklerdeki farklılaşmanın belirlenmesi ile ilgili elektron mikroskopi çalışmalarıdır. Şekil 2'de 9. haftadaki fötal deri kısmını çizgi gelişim evrelerine göre izlemekteyiz. Çizgi şekillenmesi ile ilgili kritik evrenin fötüs yaklaşık 70 mm. uzunluğuna (C-R) geldiği sırada başladığı gösterilmiştir. Diğer bir deyimle çizgi şekillenmesi yaklaşık 3 aylık fötüsün gelişimlerinin tam olduğu evrede başlamaktadır. Epidermisin dış yüzeyi düz dür ve dalgalanma epidermisin bazal tabakasında görülür. Bu epidermis gelişimi dördüncü ayda stratum germinativum tabakasının koruma doğru gelişmesi şeklinde, esik oluşumu diye tanımlanırlar (Şekil 2-b). Korium epidermise doğru papillaların uzamasına neden olur. Bu epidermis girintileri daha sonra glandüler eşikler veya Hale'nin (18) sınıflandırmamasına göre birincil çizgiler parmak uçlarının lateral-distal tarafından medial-proksimal yöne doğru oluşur ve merkezsel girintiler gözlenmez. Tomurcukların çevresinde şekillenme devam eder ve son olarak tomurcuğun bütün yüzeyini örter (19). Gelişim devam ederken glandüler kırışıklıklar dallara ayrılır ve böylece sayıca çoğalma olur. Beşinci ayda kırışık oluşumundan sonra ter bezlerinin bulböz primordiumları korium kırışıklıklarının içe dönük derin noktalarında gözüktür. Primordium tübüler epitel kord gibi bağ dokuda gelişir ve sonunda kاتlaşır. Kısa bir süre sonra glandüler kanallar yukarıya doğru gelişmeye başlayarak altıncı ayda epidermis yüzeyine kadar gelişirler (19). Bu

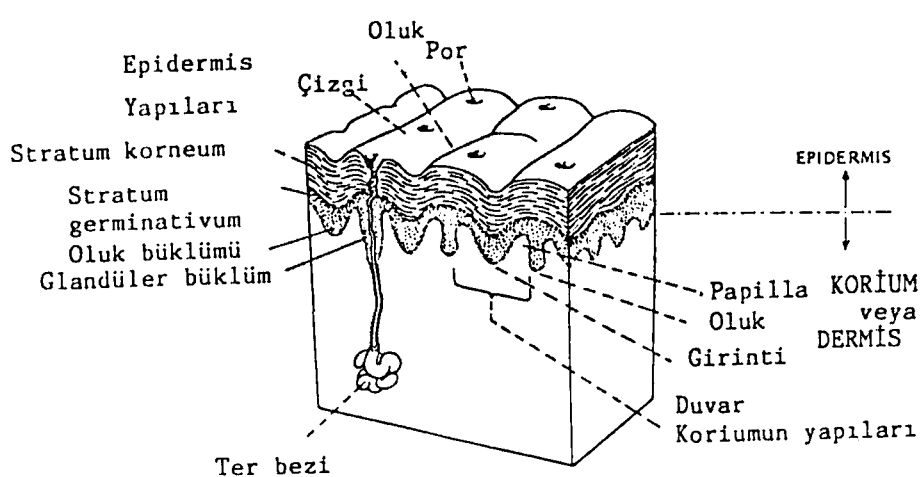
sürenin belirli bir evresinde ısı düzenlenmesi olmaksızın oluk girintileri veya Hale'ye (18) göre ikincil çizgiler glandüler kırışıklıklar arasında veya birincil çizgilerde gözükür (Şekil 2-c). Bunların gelişimleri ter bezleri dışında, glandüler kırışıklarda biri sonrakine paralel şekilde olur. Kırışıklıkların kökeninde görülen düzensizlikler ile kırışık oluşumu postnatal süreye kadar ikincil şekillenmeler şeklinde devam eder ve bu arada papiller çizgi şekillenmesi etkilenmez veya en azından ılımlı etki söz konusu değildir (19).

Epidermis çizgi örnekleri prenatal altıncı aydan sonra glandüler oluklar şekillendiği zaman ve ter bezi salgısı ve keratinizasyon başladıkten sonra tamamlanır. Bu evrede deri yüzeyindeki şekillenmeler örnekleri oluşturur. Stratum germinativumun girinti biçiminde oluklara ilişkin olarak epidermisin kırışık yüzeyi ve her epidermis çizgisi yukarıda glandüler bir girinti oluşturur (Şekil 3). Çizgilerin farklılaşması tomurcuk uçlarından proksimale doğru, radioulnar veya tibiofibular yönde olur (18). Ayaktaki epidermis çizgilerinin embriyogenezi eldekinin aynısıdır. Ancak, her gelişim sürecinde her evre ikinci veya üçüncü haftanın sonunda olur.

Özel çizgi örneklerinin gelişiminden sorumlu faktörler ile ilgili birkaç hipotez ileri sürülmüştür. Cummins (12) dermal çizgi şekillenmelerinin fiziksel ve topografik gelişim kuvvetlerinin sonucu şekillendidiğini belirtmiştir. Embriyogenenin ilk evresinde tansiyon ve basıncın epidermis çizgi dizilerinin yönünü belirlediğini düşünenler olmuştur. Bonnevie (11) parmak ucu örnekleri ile çevresel sinir dizileri arasında ilişki olduğunu göstermiştir. Penrose (23) epidermis çizgi dizilerinin embriyo epidermisinde en geniş konveksite çizgisini oluşturduğunu ileri sürmüştür. Hirsch ve Schweichel (19) epidermis çizgi şekillenmesini açıklamıştır. Önceki gözlemler ve sözü geçenlerin değerlendirmelerine göre glandüler çıktılar oluşmadan önce düz epidermis-korium kenarının altında kan damarı ve sinir dizilerinde düzensizlik vardır. Bu ara-



**ŞEKİL 2.** 9 haftalık (a), 16 haftalık (b) ve 23 haftalık (c) fötüsün derisininden alınan kesitler,



**ŞEKİL 3.** Epidermis ve dermis yapıları ile ilgili sınıflandırma ve çizgili derinin şematik görünümü.

tırıcılar girinti ve çıkışlarının damar ve sinir çiftleri tarafından etkilenliğini göstermişlerdir. Yine bunlara göre, sinirler epitelyumda gelişmeye başladığı veya anormal çizgi gelişimi ile birlikte olduğu zaman epidermis ve sinir kusurları arasında ilişki vardır. Dokulara yetersiz oksijen gelmesinin, ter bezlerinin dağılım ve şekillenmesinden sapmaların, epitelyumun alt tabakasında hücre gelişimi ve keratinleşme düzensizliklerinin diğer faktörler gibi epidermis çizgi örneklerinin etkilendiği belirtilmiştir (29). Ayrıca, fotal tomurcuklarda çevrenin basıncı ve özellikle parmak hareketleri kadar embriyo hareketlerinin çizgi şekillenmesini etkileyebileceği düşünülmüştür.

İlk kalıtımsal çalışmalar epidermis çizgi örneklerinin genetik olarak kontrol edildiğini göstermiştir. İlk kez Galton ve Wilder bugün sayısız çalışma ile vurgulanan dermal örneklerin genetik niteliklerini açıklamışlardır (29). Tek yumurta ikizleri arasında derioymacı Özelliğin benzerliğinin fazla, çift yumurta ikizlerinde az olduğu saptanmıştır. Bu gözlemler ikizlerin tek yumurta ikizleri olup olmadıklarının belirlenmesinde önemlidir (29). Yakın akrabalar arasında, akraba olmayan bireyler arasındaki farklılık daha fazla benzerlik oluşу yüzünden paternitenin saptanmasında tamamlayıcı bilgi olarak derioymacı analizlerinin kullanılabileceği gösterilmiştir, bireysel derioymacı Özelliğin genlerin tam veya tam olmayan penetrans ve değişik ekspresivitesi ile dominant, eksik dominant, resesif bir gen tarafından belirlendiği veya poligenik kalıtım şekli gösterdiği ileri sürülmüştür (29).

Derioymacı analizlerinin objektif olması gerektiğinden araştırmacıların çoğu bir örnekteki veya iki nokta arasındaki çizgilerin sayımı veya açı ölçümleri gibi kantitatif derioymacı Özelliğin değerlendirilmesidir. Bu kantitatif yaklaşım derioymacıklarının belirlenmesinde, genetik etkinin anlaşılabilmesini sağlamıştır (21). Bugün derioymacı Özelliğin yoğunluğunun bireysel genlerin minik, eklemeli etkisi ile poligenik kalıtım şekli gösterdiği saptanmış bulunmaktadır (29, 31).

Kromozomların birbirinden ayırd edilmesinde kullanılan modern sitogenetik metodlar kromozom kusurları ile derioymacıği karakterleri arasındaki ilişkinin önemini vurgulamakta ve derioymacıklarını belirleyen gen lokuslarının saptanmasında öncülük etmektedir.

## **1.2. Derioymacığı kayıt metodları**

Derioymacıkları kalıtımsal hastalık ve sendromların tanısında en az iki büyük kolaylık gösterir; 1- El ve ayaklarda epidermis çizgi örnekleri doğuma kadar gelişir ve yaşam boyunca değişmez. Ancak, hacimleri değişimdir, büyür; 2- Çizgi özellikleri sabit olarak kaydedilebilir ve metod çabuk, ucuz ve hastaya travma olmaksızın uygulanabilir. Derioymacıklarının saptanması için çok sayıda metod geliştirilmiştir. Sözü geçen metodlar ekipman gereksinimleri, zaman, deneyim ve izlerin kalitesine göre farklılık gösterir. İzlerin kaliteli olmasını sağlamak için derinin ter, yağ ve pislikten temizlenmesi gereklidir. Çizgili bölgenin sabun ve su ile yıkanması, etil alkol ile temizlenmesi sağlanmalıdır (8,29).

### **1.2.1. Standart metodlar**

Bu metodlar öncelikle derioymacığı analizlerinde derinin izlenmesini sağlamak için geliştirilmiştir (29).

#### **1.2.1.1. Mürekkepli metodlar**

İyi bilinen ve çok kullanılan derioymacığı iz alma metodlarından birisi olup matbaa mürekkebi, fotoğrafçı merdanesi, üzerine mürekkebin yayılacağı cam, süngerden destek yastığı ve parlak yüzeyli iyi kalitede kâğıt kullanılır. Özellikle yetişkinler için kullanışlı bir yöntem olup, örnek alınacak bölge mürekkep ile boyanarak temiz kaliteli bir kâğıt üzerine bastırılır. Alınan izler dört veya beş büyütülmeli büyütme ve binoküler stereoskop altında incelenir.

### **1.2.1.2. Mürekkepsiz Metodlar**

Özel patentli solüsyon ve bu solüsyona duyarlı kâğıtların kullandığı uygulama alanı fazla olan metoddur (Faurot Inc., 299. Broodway, New York, N.Y. 10007). Sözü geçen solüsyon deriyi boyamaz, tahriş etmez, su ve sabun ile yıkandığında kolaylıkla çıkar. Kimyasal solüsyon ile ıslatılmış ıstampa yastığına iz alınacak bölge temas ettirilir sonra bir sünger yastığın üzerinde bulunan duyarlı kâğıdın üstüne bastırılır.

Diger bir yöntem ise röntgen filmi yöntemidir. Iz alınacak bölge röntgen filmlerinin banyosunda kullanılan developer ile ıslatılır, ıslatılan deri ışık almış röntgen filminin üzerine sıkıca bastırılır ve izin alındığı bu film fiksatif içine atılıp tespit edildikten ve sudan geçirildikten sonra kuruması için bırakılır. Daha sonra film negatoskopta incelenir.

### **1.2.1.3. Saydam Yapıştırıcı Band Metodu**

Deri eter ile temizlendikten sonra iz alınacak bölge tebeşirle pudralanıp üzerine seloteyp yapıştırılır. Daha sonra hafifçe alınan seloteyp koyu bir zemin üzerine konulup büyütęç altında incelenir.

### **1.2.1.4. Fotoğraf Metodu**

Dermal örnekler üzerine yerleştirilmiş bir pirizmaya ışık gönderilir, buradan yansyan gölge bir mercekten geçirilip bir aynada yansıtılırak fotoğraf filmi üzerine düşürülür. Metod memnuniyet verici olmakla beraber pahalıdır.

## **1.2.2. Özel Metodlar**

Bu metodlar derioymacıklarının elde edilmesinde fazla kullanılmamaktaysa da standart metodlara göre kullanışlı olabilmektedir (29).

### **1.2.2.1 Higrofotografi**

Higrofotografi derioymacıklarının saptanılabilmesi için ışık ve nemin birlikte duyarlı yüzeyde oluşturduğu görüntüdür. Bu metod epidermis çizgileri kadar porları ve ter bezlerinin aktif taraflarını tesbit eder. Bu metod aynı zamanda bireylerde tübülüslerin, epidermis çizgilerinin bulunmadığı durumlarda kullanışlıdır.

### **1.2.2.2. Radiodermatografi**

Derioymacıklarının saptanmasında radyografinin kullanılmasına radiodermatografi denir.

### **1.2.2.3. Plastik Kalıp**

Plastik kalıp veya ölçü maddesi ile çizgi örneklerinin, bu arada ter bezi porlarının saptanması olasıdır.

### **1.2.2.4. Otomatik Örnek Tanıma**

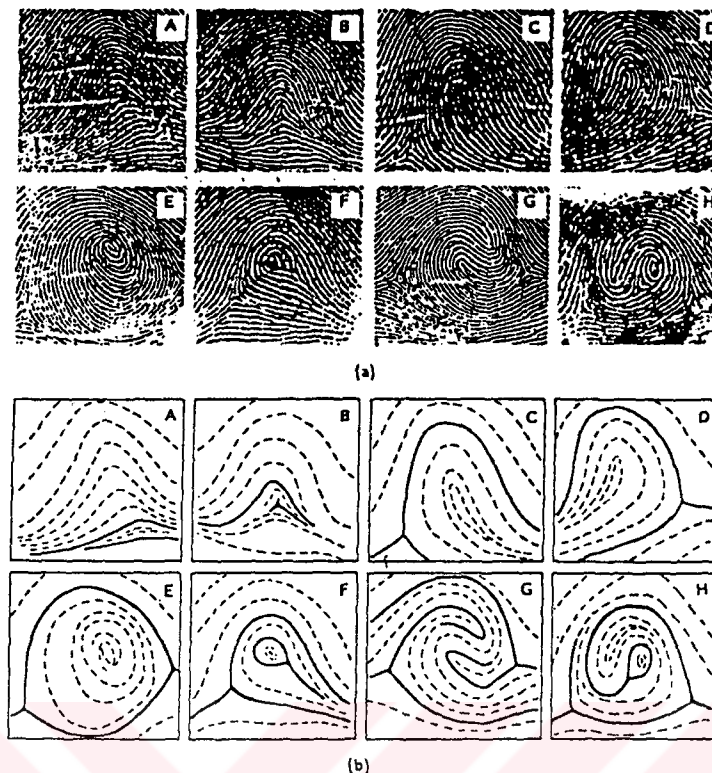
Son yıllarda örneklerin otomatik olarak tanınması için yeni metodlar geliştirilmiştir (23). Bu teknikler tipta ve ayrıca kimlik tesbitinde kullanılmaktadır.

## **1.3. Derioymacığı Örnek Şekillenmeleri**

Parmak uçları, elin palmar ve ayağın plantar bölgelerinde bulunan derioymacıkları şekil, sayı, yapı ve büyülüük bakımından farklı örnekler meydana getirecek şekilde birkaç grupta toplanırlar.

### **1.3.1. Parmak uçlarındaki şekillenmeler**

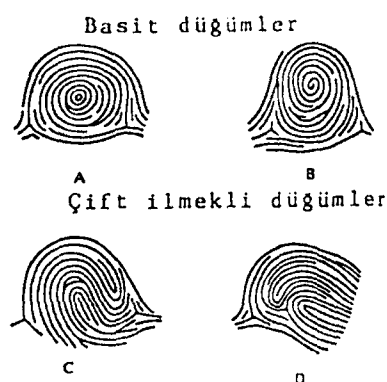
Dermal örneklerle yapılan çalışmalar çoğunlukla parmak uçlarında yoğunlaşmıştır. Bu örnekler, birbirine paralel üç çizgi demetinin, aralarında  $120^{\circ}$ lik bir açı yapacak şekilde bir noktada toplanmasıyla ortaya çıkan triradius'un (delta, üçgen) bulunup bulunmamasına göre sınıflandırılırlar (20), (Şekil 4).



**Şekil 4.** Parmak ucu örnek tipleri: gerçek izler (a) özenle çizilmiş tip çizgileri ile şematik çizimler (b). **A.** Basit kemer; **B.** Selvi; **C** ve **D** ilmek (ulnar veya radial); **E.** Basit düğüm, **F.** Merkezsel paket düğüm; Rastgele düğüm.

Bu sınıflandırma klasik metoda göre yapılmıştır (16). Parmak uçlarında bulunan en basit örnek tipi kemerdir. Örnek bölgesinde az veya çok paralel çizgilerin birbiri ardınca gelmesi ile proksimalde konkav çizgi dizisini oluşturur. Kemer örneği iki tipte düşünülür. Basit kemer (A), parmak ucunun bir tarafından diğerine giden daha az eğik çizgi dizilerinden oluşur (Şekil 4-A). Bu gerçek örnek değildir. Çizgi dizileri bir noktada karşılaşır ve bunun üzerinde eğik çizgiler yer alırsa selvi tipi (T) şekillenir (Şekil 4-B). Parmak uçlarında sık rastlanılan örnek ilmektir. Bu örnek tipinde çizgi dizisi örnek bölge parmağın bir tarafından girer, geriye eğri yapar ve aynı taraftan örnek bölgesinden dışarıya çıkar (Şekil 4-C, 4-D). Çizgi dizileri ilmek oluşturacak şekilde ulnar tarafa açılırsa ulnar ilmek (**U**, **L<sup>u</sup>**) radial kenara doğru açılacak

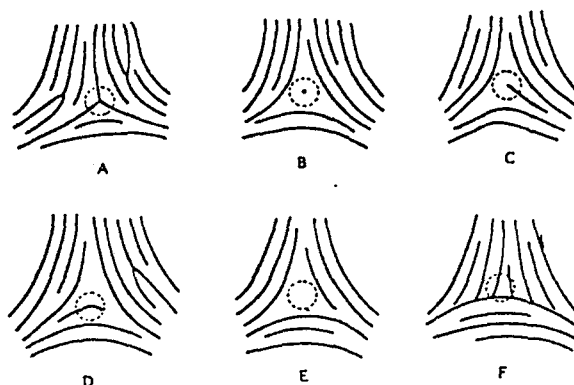
olursa radial ilmek (**R**, **L**) diye adlandırılırlar. Ilmekler bir tek triradius veya çizgilerin birlikte akış noktasını içerirler. Triradius genelde parmak ucunda, lateralde ve daima ilmeğin kapandığı taraftadır. Özü bir spiral, daire veya elips şeklinde, ayrıca merkezleri müsterek olan bir çift ilmek tipi örnek düğüm (**W**) diye ifade edilir (29). Basit düğüm tipinde (Şekil 4-E) çizgiler konsentrik halka ve elips şeklinde dizilmişlerdir. Bu tip örnekler konsentrik halka, düğüm adı verilir (**W<sup>c</sup>**, Şekil 5-A). Şekillenme tipi saat kadranı doğrultusunda, öz etrafında spiraller gösteren düğümdür. Bu tip örneğe spiral düğüm (**W<sup>s</sup>**, Şekil 5-B) denir. Merkezsel paketi olan düğüm (**W<sup>c</sup>P**, Şekil 4-F) küçük bir düğümü içeren ilmeklerdir. Merkezsel paketler, ilmeklerde olduğu gibi ulnar ve radial açılım taraflarına göre sınıflandırılırlar. Diğer düğüm tipi lateral paket (**W<sup>i</sup>P**) veya ikiz ilmek (**W<sup>t</sup>**) örneklerinin her ikisini içeren ilmeklerden oluşur. Bunların her birisinde iki triradius vardır ve bu iki tip düğüm şekil bakımından birbirine benzer. Bununla beraber ikiz ilmek tipi düğümde çizgiler özden parmağın zıt tarafına açılır (Şekil 4-G ve 5-C) ve ulnar veya radial diye ayırmak söz konusu değildir. Sınıflandırılmasında güçlük çekilen karmaşık tiplere "aksidental" denir (**W<sup>acc</sup>**, Şekil 4-H). Bunlar iki ve ikiden çok şekillenme tipini birarada gösterirler. Örneğin, bir ilmek ve bir düğüm, üç ilmek ve diğer karmaşık tipleri gibi.



**Şekil 5.** Basit düğümler: A, Konsentrik düğüm; B, spiral düğüm. Çift ilmekli düğümler C, İkiz ilmekli düğüm; D, lateral paketli düğüm.

### 1.3.2. Derioymacığı Ölçütleri

Parmak uçları ile ilgili üç temel ölçüt triradiuslar, özler ve radiantlardır. Triradius üç çizgi dizisinin bir noktada bir araya gelmesi ile şekillenir (Şekil 6).

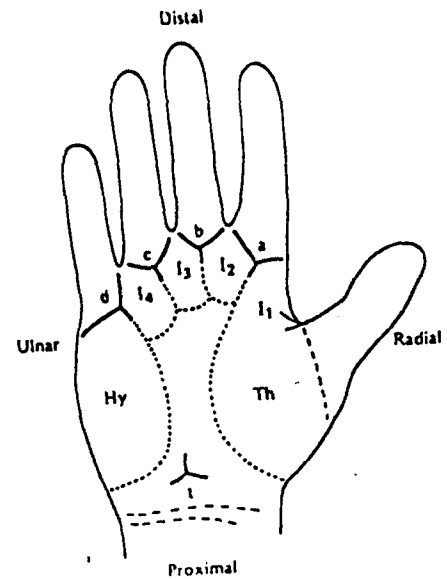


**Şekil 6.** Bir triradius bölgesinde farklı tipte çizgi dizilerinin şeması. Noktalı dairenin merkezi triradius noktasıdır.

Triradiusun geometrik merkezi triradius ile ilgili nokta gibi tanımlanır. Normal olarak triradius noktası biri diğer ile yaklaşık  $120^\circ$  lik açı şekillendirecek şekilde üç çizgi dizisinin karşılaştığı noktadır (Şekil 6-A), bununla beraber, triradius noktası çok kısa, nokta gibi bir çizgi (Şekil 6-B) veya bir çizginin ucu (Şekil 6-C) veya üç çizginin birleşme noktasına yakın çizgi parçası olabilir (Şekil 6-D). Triradius noktası triradiusu şekillendiren çizginin ucunda olabilir. Tırnak bulunduğu ve normalden büyük örneklerin sözkonusu olduğu olgularda çizgili derinin ucunda kesik olmayan triradius örneği görülebilir. Bu olgularda gözlenen bu tip triradiuslara ekstra üç triradius adı verilir (Şekil 7). Ekstra üç triradiuslar el, ayak parmaklarının tırnağa yakın bölgelerinde ayrıca yan taraflarda sık olmasada görülürler. Ayrıca, el ayalarının hipotenar bölgelerinde ve ayağın volar yüzeyinin hallukal bölgesinde sıkılıkla izlenirler.



**Şekil 7.** "Ekstra üç triradiuslu" parmak ucu düğüm tipinin yuvarlanmış izi.



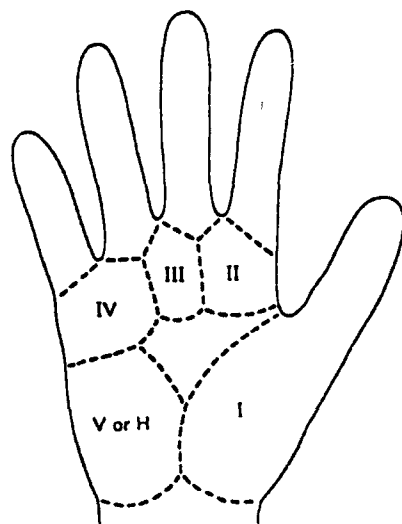
**Şekil 8.** Derioymacıği örnek bölgelerini gösteren elyası şeması. Th. Tenar; Hy. Hipotenar; I<sub>1</sub>-I<sub>4</sub>. Birinci-dördüncü parmak arası bölgeler.

Dermal örneğin merkezi ile en uzaktaki triradius arasına çizilen düz bir çizgiyi kesen, ya da bu çizgiye degen dermal çizgiler sayilarak örnekteki çizgi sayısı bulunur. Kemer tipinde çizgi sayısı sıfır olarak kabul edildiğinden çizgi sayımı yapılamaz. Sayım yapılırken iki triradiuslu düğüm örneklerinde radial ya da ulnar çizgi sayılarından büyük olanı dikkate alınır. On parmakta çizgi sayısı toplanarak total çizgi sayısı (TRC) bulunur. Parmaklardaki bütün triradiuslara göre çizgi sayılarının ayrı ayrı toplanmasıyla absolu çizgi sayısı (ARC) elde edilir. Parmak uçlarındaki toplam çizgi sayıları bulunurken her iki elin parmakları, baş parmaktan küçük parmağa doğru numaralandırılır. Parmak uçlarındaki dermal örneklerin sıklığı toplumlara ve cinsiyete göre değişmekte birlikte, kemer ve radial ilmekler az rastlanılan örneklerdir. İlkinci parmakta radial ilmek fazla görülürken, düğüm örnekleri ise I, III ve IV numaralı parmaklarda daha çok gözlenmektedir. Toplumda en sık görülen örnek ulnar ilmektir. Düğüm tipi örnekler erkeklerde, kemer tipi örnek ise bayanlarda daha sık görülür. Toplam çizgi sayısı (TRC) erkeklerde bayanlara göre daha fazladır (29).

### **1.3.3. El Ayaları Palmar Örnek Şekillenmeleri**

Farklı bireylerde derioymacıgı analizleri yapabilmek için el ayaları anatomik olarak birkaç bölgeye ayrılmıştır. Sözü geçen bölgeler embryogenezdeki volar tomurcuklara karşılıktır, tenar (**Th**), interdigital dört bölge (**I<sub>1</sub>**, **I<sub>2</sub>**, **I<sub>3</sub>**, **I<sub>4</sub>**) ve hipotenar bölgeyi (**Hy**) kapsar (Şekil 8). Her parmağın el ayası ile birleştiği eklemiñ altında **a**, **b**, **c**, **d** harfleri ile gösterilen birer triradius bulunur. Elin palmar yüzeyindeki bölgelerin topolojik metoda göre sınıflandırılması Şekil 9'da görülmektedir. Interdigital bölgelerde parmak uçlarında görülen örnekler rastlanabilir. Her derioymacıgı oluþumunda temel çizgiler, parmaksal ve aksial triradiuslar derioymacıgı analizleri için önemli karekteristiklerdir. Küçük harf ile gösterilen digital triradiuslardan birisinden başlayan başlayan ve **A**, **B**, **C** ve **D** büyük harfleri ile gösterilen dört temel çizgi vardır (Şekil 10). Fazladan triradiuslar yakınında bulundukları triradiusa göre **a'**, **b'**, **c'** ve **d'** diye gösterilir (Şekil 11). Temel çizgi sonlanma yönleri ile ilgili bilgiyi sağlamak için el ayasının çevresi boyunca numaralama yapılır (Şekil 12). Avuç içinde çoğunlukla proksimalde, tenar ve hipotenar bölgeler arasında bilek çizgisine yakın üç çizginin aralarında 120° lik açı yaparak birleşmesiyle meydana gelen bir triradius bulunur ki buna "aksial triradius" ya da **t** triradiusu denir (Şekil 13). Aksial triradius genellikle distalde olabileceği gibi bazen birisi distalde, diğer de proksimalde olmak üzere iki tane aksial triradius bulunabilir. Avuç içinde böyle bir durumla karşılaşıldığında distale en yakın triradius dikkate alınarak ona göre değerlendirme yapılır. Aksial triradius distale doğru kayıkça **t'**, **t''** şeklinde ifade edilir, a ve d triradiuslarından aksial triradiusa çekilen birer çizgi ile "**atd**" açısı bulunur. El ayasındaki fleksiyon çizgilerinin dermatoglifik sayılıp sayılamayacağı tartışma konusudur. Parmaklardaki fleksiyon çizgilerinden el ayasındaki "palmar", parmak takileri "digital" çizgi olarak adlandırılır. Birinci parmakta bir, diğer parmaklarda ikişer fleksiyon çizgisi vardır. Palmar

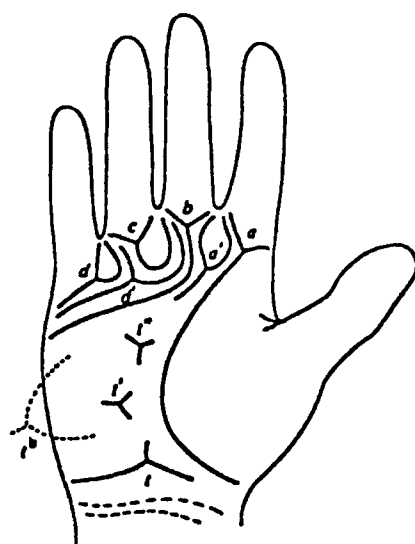
**Şekil 9.** Topolojik metoda göre el ayasındaki şekillenme bölgeleri.

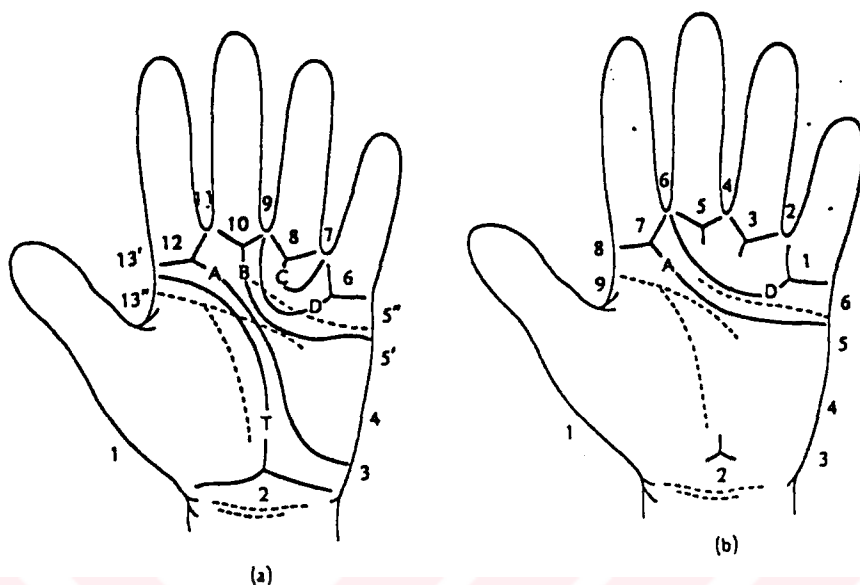


**Şekil 10.** A, B, C, D ve T temel çizgilerinin çizimi.

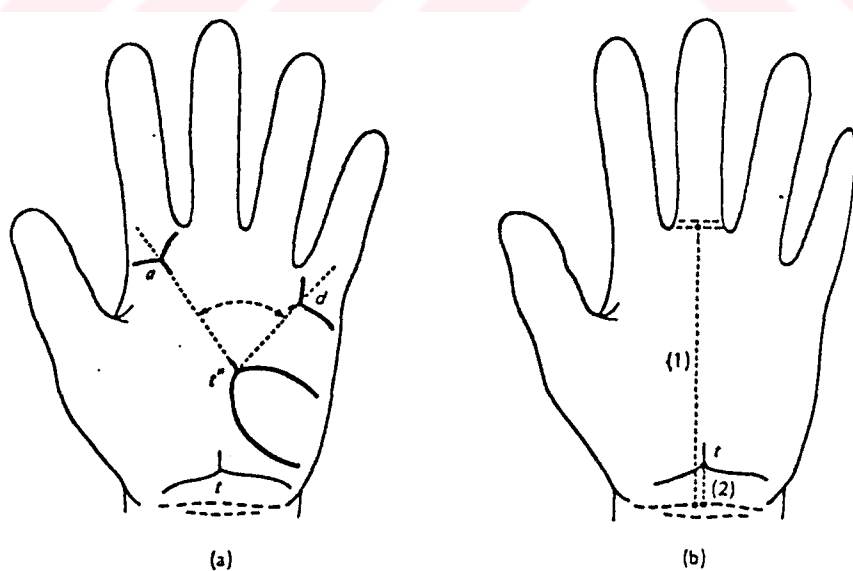


**Şekil 11.** Palmar triradiusların sınıflandırılmasını gösteren şema: a, b, c, d parmaksal triradiuslar; a', d' fazladan triradiuslar; t, t', t'' aksial triradiuslar, t<sup>b</sup> ekstralimital kenar (ulnar) triradius.



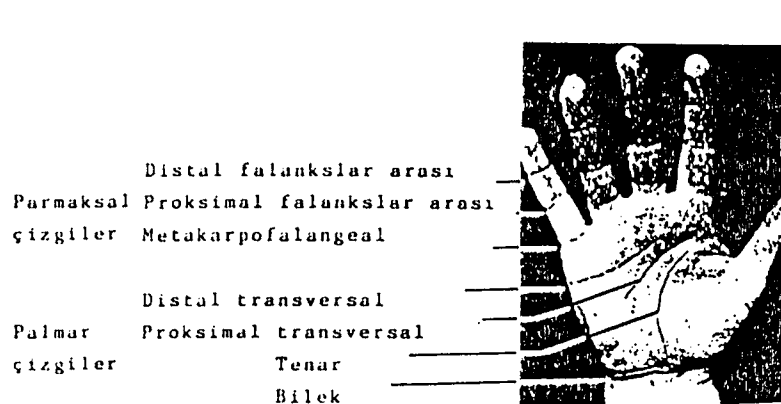


**Şekil 12.** Temel çizgi formülünde (a) ve temel çizgi indeksinden türeyen (b) palmar temel çizgilerin bitimini göstermede kullanılan sayısal değerler.

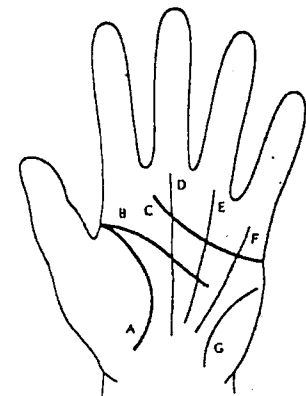


**Şekil 13.** El ayasındaki aksial triradius pozisyonunun belirlenmesi ile ilgili metod. (a) En geniş atd açısının ölçümü; (b) aksial triradiusun ölçümü.

fleksiyon çizgileri oldukça derin çizgilerdir. Genellikle el ayasında üç fleksiyon çizgisi bulunur. Derinin altındaki dokuya bağlanan yerleri gösteren palmar, plantar ve digital fleksiyon çizgileri emriyonal hayatın yedi ile ondördüncü haftalarında gelişirler (28, 29), (Şekil 14-15).

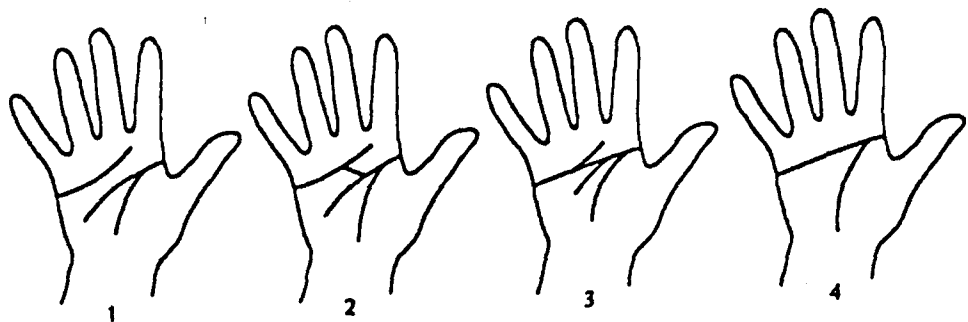


Şekil 14. El çizgilerinin sınıflandırılması

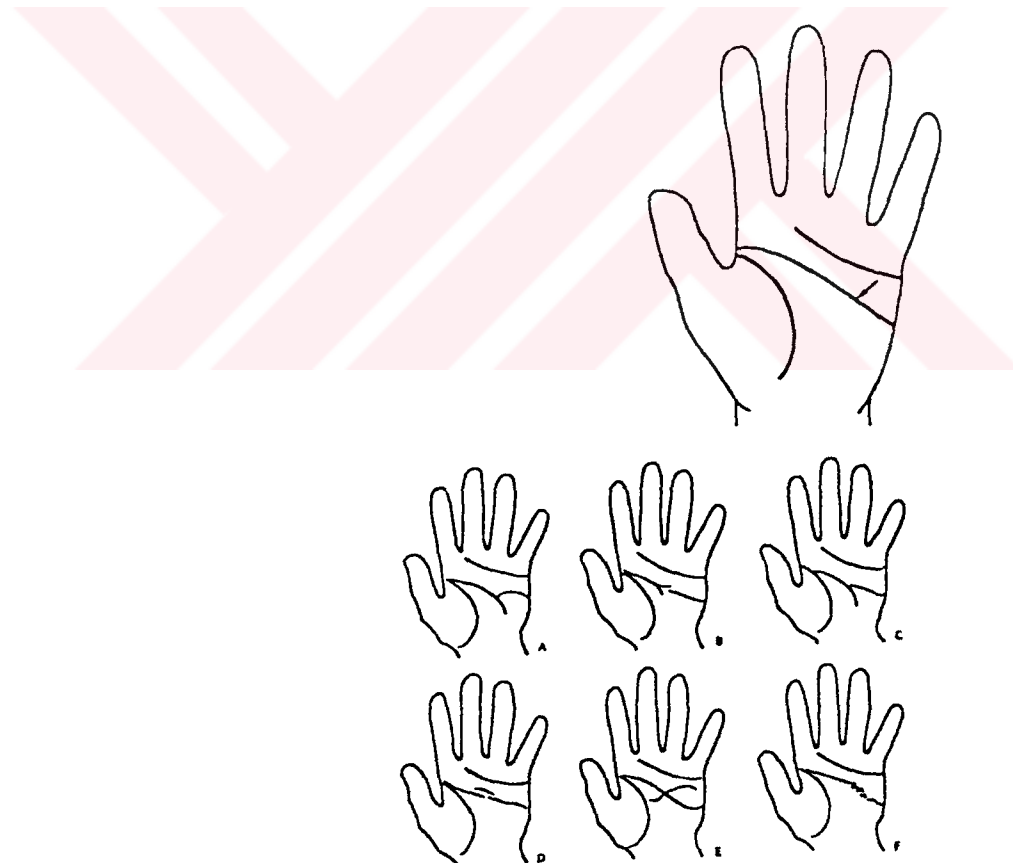


Şekil 15. Temel palmar fleksiyon çizgilerinin yerlerinin şematik görünümü. A, tenar çizgi; B, Proksimal yatay çizgi; C, distal yatay çizgi; D, Orta parmak çizgisi; E, Yüzük parmağı çizgisi; F, Hipotenar çizgisi.

Bu fleksiyon çizgilerinden birisi distalde, diğeri ise proksimaldedir. Proksimalde olan çizginin başlangıcından hayat çizgisi denilen üçüncü bir çizgi çıkar ve proksimaldeki iki fleksiyon çizgisi birleşerek tek bir çizgi halini alır ve el ayasını transversal keser. Buna "simian çizgisi" denir. Simian çizgi ve varyantları Şekil 16'da görülmektedir. Normalde simian çizgisi ile **Tip I** ve **Tip II** çizgiler sık görülmez. Bazende proksimal fleksiyon çizgisi el ayasını transversal olarak tamamen katedebilir, bu şekilde ortaya çıkan çizgiye de "**Sidney çizgisi**" adı verilir. Sidney çizgisi ve varyantları Şekil 17'de gösterilmiştir.



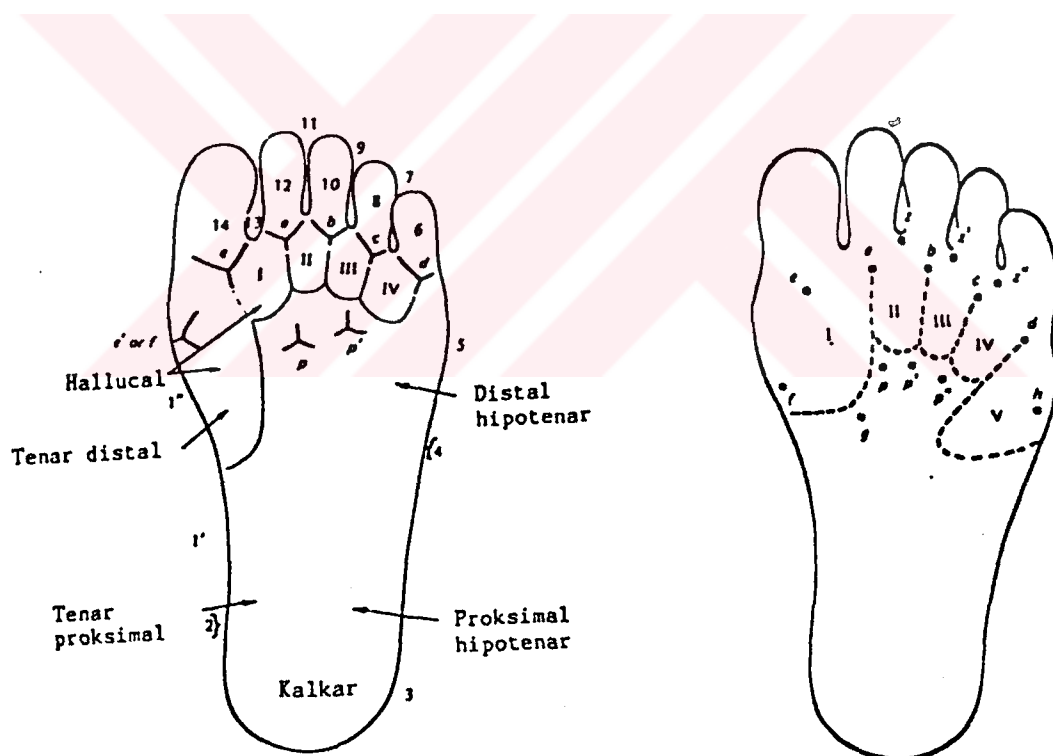
**Şekil 16.** Normal çizgiler ve tek palmar çizgi (simian çizgisi) arasındaki差别ica palmar fleksiyon çizgilerinin şematik çizimi. (1) Normal fleksyon çizgisi (proksimal ve distal transversal çizgiler ayrılmıştır); (2) Arada tip 1 (proksimal ve distal çizgiler bir köprü çizgi ile birbirine bağlıdır); (3) Arada tip 2 (proksimal) ve distal segmentlerinin dalanımı ile transversal çizgilerin bitişimi, tek olmayan tek palmar çizgi); (4) Tek fleksiyon çizgisi.



**Şekil 17.** Sidney çizgi çeşitleri.

#### 1.4. Ayak tabanı plantar örnek şekillenmeleri

Ayak tabanında yalnız "hallukal bölge" denilen baş parmağın hemen arkasındaki bölgede bulunan dermal örnekler incelenir (Şekil 18). Ayak tabanındaki parmak diplerinde bulunan triradiuslar başparmakтан küçük parmağa doğru a, b, c, d olarak adlandırılır. Buradaki triradiuslar ab, bc, cd olarak gösterilirler. Hallukal bölgede sıkılıkla görülen örnekler sırasıyla düğüm, distal ilmek, tibial ilmek, fibular kemer, tibial kemer ve proksimal kemerdır. Genellikle hallukal ve ikinci interdigital bölgelerin birleştiği yerde bir triradius bulunmaktadır. Hallukal bölgede tibial tarafta f triradiusu, distalde e triradiusu bulunur. Ayak tabanındaki örnekler Şekil 19'da görülmektedir. Bu triradius proksimalde ise p, hallukal bölgeye yakınsa p' olarak gösterilmektedir.



Şekil 18. Ayağın volar yüzeyindeki örneklerin sınıflandırılması.

Şekil 19. Topolojik sınıflandırmaya göre ayağın volar yüzeyindeki şekillenme bölgeleri ve triradiuslar.

### **1.5. Derioymacıgı örnekleri ve fleksiyon çizgilerinin uygulama alanları**

Kalıtsal hastalıkların tanısında, derioymacıgı örnekleri ve fleksiyon çizgileri etkili bir tanı yöntemi olarak kullanılmaktadır.

Eğer dermatoglifik örnekler kalıtsal nitelikli ise, monozigotik ikizlerden birinin iki eli biribirine ne kadar benziyorsa, eşinin ellerine de o kadar benzemelidir. O halde tek yumurta ikizlerinin el ve ayaklarındaki derioymacıgı örnekleri birbirinin aynı olmalıdır. Benzerlik arttıkça monozigotik ikiz olma olasılığı da artmaktadır. Monozigotik ikiz eşlerinin derioymacıgı örneklerinin birbirinin aynı olması, bu örneklerin oluşumlarının büyük ölçüde kalıtımla ilişkili olduğunu kanıtlamaktadır (9).

Derioymacıgı örneklerinin, fotal elin oluşumunu yansıtacağı düşünülmektedir. Ekstremitelerdeki bir bozukluk hemen derioymacıgı örneklerine de yansıyacaktır. Böylece, az belirgin olan anomalilerin fotal dönemde de olup olmadığı dermal örneklerle bakılarak kararlaştırılabilir.

Derioymacıgı örneklerine bakarak, hastalık etkenlerinin fotal yaşamın hangi döneminde, erken mi geç mi etkili olduğuna karar verilir. Çünkü dermatoglifik örnekler fotal yaşamın onuncu ve onukuzuncu haftaları arasında tamamlanır. Eğer erken olmuş bir kusur yoksa, örneklerde bir düzensizlik yok demektir.

Derioymacıgı örnekleri, pek çok kalıtsal hastalıkta, özellikle kromozomal hastalıklarda, ayırıcı tanı niteliği taşıyacak şekilde ortaya çıkmaktadır. Bu hastaların hemen hepsinde, derioymacıgı örnekleri ayırıcı tanı niteliğini kazanmış durumdadır (9).

## **2. Pes ekinovarus ile ilgili literatür bilgisi**

Pes ekinovarus (P.E.V.) deformitesi iskelet sisteminin en sık görülen konjenital ayak deformitelerinden birisidir (32). Bu deformite çarpık ayak, yumru ayak isimleri ile de tanınmaktadır. Ayak, doğuştan çeşitli istikametlerde çarpık olup, normal dayanma noktaları ile yere basamaz.

Çok eski tarihlerde Mısır'da yapılmış bir duvar resminden deformite ile ilgili ilk dökümanlar elde edilmiştir. Hipokrat zamanından beri bilinen, hastaların olduğu kadar, toplumlarında ekonomik, sosyal ve psikolojik problemi olarak önemi olan bu deformitenin yenidoğanlarda görülme sıklığı 1-2/1000 olup, oluşumunda genetik faktörlerin rolünün açıkça görülmesine rağmen, basit kalıtım şekli yerine oturtulmamıştır (1, 8, 31, 33, 34). Erkeklerde kızlara göre birkat daha fazla görülmekte- dir (32). Bazı araştırmacılara göre iki ayakta görülmesiyle tek ayakta görülmesi arasında bir fark olmadığı eşit oranlarda görüldüğü öne sü- rülmekteyse de, birçok araştıracı ise tek taraflı deformitelerin daha fazla olduğunu ileri sürmektedir (32).

Bu deformitenin oluş mekanizması hakkında pek çok teori ortaya atılmış ise de bunlar içinden üç tanesi önemlidir (17).

**1- Mekanik Teori:** Bu teoriye göre esasen çocuğun intrauterin hayatın ikinci ayında ayakları aşırı ekinus ve supinasyon halindedir. Üçüncü ayın ortalarında yavaş yavaş düzelmeye başlar. Doğuma yak- laştıkça normale döner. Eğer ikiz hamilelik, uterus ve pelvis tümörleri gibi sebeplerle ayakların üzerine devamlı basınç yapılacak olursa, ayaklardaki bu hal daimi karekter alır ve çocuk sakat olarak dünyaya gelir. Bu teori daha ziyade tarihi kıymet taşır. Doğuştan çarpık ayak vakalarının ancak pek azını bu teori ile izah etmek mümkün olabilir.

**2- Nöro-Müsküler Teori:** Buna göre, ayak pozisyon ve hareket- lerini idare eden kaslardaki kuvvet dengesizliği, kuvvetli kaslar yönüne

çarpılmak üzere ayaklarda deformasyonlara sebep olur. Örneğin spina bifida, kanalis vertebral is darlığı gibi nedenlerle bu hal meydana gelbilir.

**3- Embriogenetik Teori:** Bu teoriye göre doğuştan ayak çıraklığının orijini genin primitif bir bozukluğuna bağlanmaktadır. Bu vakalarda bazan başka malformasyonlarında birlikte bulunması, ikiz çocukların ikisinde de görülmesi, kalıtsal karakter taşıması, örneğin ebeveynlerde, kardeşlerde ve soyda da bulunması bu teoriyi haklı kırmaktadır. Vakaların büyük çoğunluğunu bu teoriyle izah etmek mümkün-kün olmaktadır.

Pes ekinovarus'ta genetik araştırmalar Adams'ın iki ailede birden çok P.E.V. görmesi ile başlamıştır (32). Ülkemizde yapılmış olan bir çalışmada (8) yine pes ekinovarusun kalıtım şekli araştırılmış karakterin kalıtsal olduğu veya en azından kalıtsal faktörlerin karakterin etiyolojisinde önemli olduğu belirtilmiş ve multifaktöriyel kalıtım modeline olan uygunluğun araştırılmış, ancak literatürde de belirtildiği üzere karakterin otozomal dominant, resesif kalıtım şekli gösterebileceği gibi multifaktöriyel de olabileceği sonucuna varılmıştır.

### BÖLÜM III

#### MATERYAL VE METOD

Materyali, Selçuk Üniversitesi Tıp Fakültesi Ortopedi ve Travmatoloji Anabilim dalına müracaat eden 33 erkek, 17 kız toplam 50 hasta oluşturmuştur. Erkek hastaların yaş ortalaması 7,6, kız hastaların yaş ortalaması 9'dur. Klinik muayene ve röntgen bulgularından sonra pes ekinovarus teşhisi konulan hastalarda başka doğmalık kusur gözlenmemiştir. Pes ekinovaruslu bir erkek hastanın ayakları Resim 1'de gösterilmiştir.

Atasu (5, 6)'nun sağlıklı 7-14 yaşları arasındaki 250 erkek ve 250 kız toplam 500 öğrencide saptamış olduğu el parmak uçlarındaki, ellerindeki ve ayaklarındaki örneklerin yüzde değerleri, parmak uçlarındaki toplam çizgi ve palmar a-b, b-c ve c-d çizgi sayıları ve 196 erkek 197 kız toplam 393 öğrencide saptamış olduğu atd açı ortalama değerleri (3); ve ayrıca Polat (27)'in sağlıklı 1-14 yaşları arasında 1859 erkek, 1674 kız toplam 3533 çocukta araştırmış olduğu simian ve Sidney çizgileri ve varyantları ile ilgili yüzde değerler kontrol grubu verileri olarak alınmıştır.

Olguların el parmaklarındaki, ellerindeki ve ayaklarındaki çizgili derinin tespitinde siyah OB-550 marka matbaa mürekkebi, 16 cm uzunlığında 4 cm çapında kollu, lastikli fotoğrafçı merdanesi, 35x45 cm ölçüsünde 5 mm'lik düz camlar kullanılmıştır (Resim 2). Matbaa mürekkebi her iz alımından önce az mikarda alınıp, birinci camın üzerine konulmuş, mürekkebin lastik merdane ile cam üzerine homojen bir şekilde yayılması sağlanmıştır. İnce bir boyalı tabakası taşıyan merdane ikinci iz alınacak cama uygulanarak, çok daha ince, homojen mürekkepli bir satır elde edilmiştir. Bireylerin iz alınacak bölgeleri, parmak uçları yarımdaire yapacak şekilde camda yuvarlanarak, avuç içleri ve ayak tabanları ise tamamen düz bir şekilde cama tatbik edilerek boyanmış, daha sonra boyanmış olan bu bölgeler birinci hamur beyaz renkte fotokopi kağıtları üzerinde bastırılarak tespit edilmiştir (Resim 3).

Olguların ellerindeki ve ayaklarındaki çizgili derinin daha sağlıklı bir şekilde alınabilmesi için sünger yastıklardan yararlanılmıştır.

Derioymacığı örneklerinin değerlendirilmesinde desimetrik cetvel, pergel, açı ölçer, özel lup'lar, büyütçeş ve binoküler aydınlatmalı 06-7 objektifli, x8-x12 oküleri olan stereoskopik mikroskop kullanılmıştır. P.E.V.'lu hastalar ile kontrol grubunu oluşturan olguların el parmak uçlarındaki derioymacığı örnekleri, bireysel parmaklardaki çizgi sayıları, TRC, elin volar yüzeyindeki temel çizgi sonlanmaları, palmar a-b, b-c ve c-d çizgi sayıları klasik metoda göre (13), el ayası ve ayak tabanında bulunan derioymacığı örnekleri ise topolojik metodlara göre değerlendirilmişlerdir (25, 26). Sayısal veriler Khi kare ( $\chi^2$ ) ve ölçülebilir veriler Student'in t testine göre karşılaştırılmıştır. İşlemler S. Ü. Ziraat Fakültesi İstatistik Birimi bilgisayarlarında yapılmıştır.



**Resim 1.** Pes ekinovaruslu bir erkek hasta



Resim 2. Derioymacığı izlerinin alınmasından önceki hazırlık



Resim 3. Derioymacığı izlerinin alınması

## **BÖLÜM IV**

### **BULGULAR**

#### **1. El Parmak Uçlarındaki Örnek Tipleri İle İlgili Bulgular**

P.E.V.'lu erkek ve kız hastalar ile erkek ve kız kontrol olgularının bütün el parmak uçlarındaki örnek tiplerinin yüzde değerleri Tablo 1'de gösterilmiştir.

P.E.V.'lu hastaların kontrol olgularınınkine göre cinsiyet gözetilmeksizin bütün el parmak uçlarındaki ulnar ilmek yüzdesi çok az ( $p<0.01$ ), düğümlerin yüzdesi ise çok fazla ( $p<0.001$ ) bulunmuştur.

P.E.V.'lu erkeklerin ve erkek kontrol olgularının bireysel parmak uçlarındaki örneklerin yüzde değerleri Tablo 2'de gösterilmiştir.

P.E.V.'lu erkek hastaların erkek kontrol olgularınınkine göre her iki ellerin II. parmak ucunda radial, IV., V. parmak ucunda ulnar ilmek örneği çok az ve V. parmak ucunda düğümler çok fazla bulunmuştur (sırası ile  $p<0.001$ ,  $p<0.001$ ,  $p<0.05$ ,  $p<0.01$ ,  $p<0.001$ ,  $p<0.001$ ).

P.E.V.'lu kızların ve kız kontrol olgularının bireysel parmak uçlarındaki örneklerin yüzde değerleri Tablo 3'de gösterilmiştir.

P.E.V.'lu kız hastaların kız kontrol olgularınınkine göre sol ellerinin II., sağ ellerinin I., her iki ellerinin, III. ve IV. parmak uçlarında ulnar ilmek örneği az, sol ellerinin II., sağ ellerinin IV., her iki ellerinin I. ve III. parmak uclarında düğümler çok fazla bulunmuştur (sıra ile  $p<0.05$ ,  $p<0.001$ ,  $p<0.001$ ,  $p<0.001$ ,  $p<0.05$ ,  $p<0.001$ ,  $p<0.001$ ,  $p<0.05$ ,  $p<0.001$ ,  $p<0.01$ ,  $p<0.001$ ).

## **2. El Parmak Uçlarındaki Çizgi Sayıları İle İlgili Bulgular**

P.E.V.'lu hastalar ile kontrol olguların el parmak uçlarındaki çizgi sayılarının ortalama değerleri Tablo 4'de gösterilmiştir.

P.E.V.'lu erkek hastaların en yüksek el parmak ucu çizgi sayısı sol ve sağ el I. parmak ucunda, en düşük el parmak ucu çizgi sayısı sol ve sağ el II. parmak ucunda gözlenmiştir. Aynı bulgular kontrol erkek olgularının el parmak uçlarında da görülmüştür.

En yüksek çizgi sayısı P.E.V.'lu kız hastaların sol ellerinin IV. parmak ucunda, sağ ellerinin I. parmak ucunda; en düşük çizgi sayısı sol ellerinin II. parmak ucunda, sağ ellerinin V. parmak ucunda gözlenmiştir.

P.E.V.'lu erkek ve kız hastalar ile erkek ve kız kontrol olgularının bireysel el parmak uçlarındaki çizgi sayısı ortalama değerleri arasındaki farklar kızların sağ el II. parmakları dışında önemsiz bulunmuştur ( $p>0.05$ ). P.E.V.'lu kız hastaların sağ el II. parmak uclarında çizgi sayısı ortalama değeri kız kontrol olgularinkine göre fazladır ( $p<0.05$ ).

P.E.V.'lu erkek hastaların el parmak uçlarındaki toplam çizgi sayısı  $148.78 \pm 6.79$ , kontrol grubu erkek olgularındaki ise  $150.79 \pm 2.89$  dur. Arada istatistik olarak önemli fark yoktur ( $p>0.05$ ). P.E.V.'lu kız hastaların el parmak uçlarındaki toplam çizgi sayısı  $146.35 \pm 12.50$ , kontrol grubu kız olgularındaki ise  $133.60 \pm 2.89$  bulunmuş olup, arada istatistik olarak fark saptanamamıştır ( $p>0.05$ ).

## **3. Elin Palmar Yüzeyindeki Örnek Tipleri İle İlgili Bulgular**

P.E.V.'lu erkek ve kız hastalar ile erkek ve kız kontrol olgularının palmar örnek tiplerinin yüzde değerleri Tablo 5'de gösterilmiştir.

P.E.V.'lu erkek hastaların erkek kontrol olgularınınkine göre sağ el ve her iki ellerinde IV ilmeği az, t triradiusu fazla bulunmuştur (sırası ile  $p<0.01$ ,  $p<0.01$ ,  $p<0.01$ ,  $p<0.05$ ).

P.E.V.'lu kız hastaların kız kontrol olgularının kine göre sağ el ve her iki ellerinde III ilmeği fazla, IV ilmeği ve t<sup>b</sup> triradiusu çok az, sol ellerinde t triradiusu fazla bulunmuştur (sırası ile p<0.01, p<0.05, p<0.001, p<0.001, p<0.01).

#### **4. Avcı İçerisindeki En Geniş atd Açısı İle İlgili Bulgular**

P.E.V.'lu erkek hastaların ve erkek kontrol olgularının her iki elindeki en geniş atd açı değerlerinin ortalamaları sırasıyla  $97.48 \pm 2.71$ ;  $92.94 \pm 1.13$  derece bulunmuş olup, arada istatistik olarak önemli fark saptanamamıştır (p>0.05). P.E.V.'lu kız hastaların ve kız kontrol olgularının her iki elindeki en geniş atd açı değerlerinin ortalamaları sırasıyla  $96.94 \pm 1.13$ ;  $96.99 \pm 1.36$  derece olup, arada önemli fark bulunamamıştır (p>0.05).

#### **5. Palmar a-b, b-c ve c-d Çizgi Sayıları İle İlgili Bulgular**

P.E.V.'lu erkek ve kız hastalar ile erkek ve kız kontrol olgularının palmar a-b, b-c ve c-d çizgi sayıları Tablo 6 ve 7'de gösterilmiştir.

P.E.V.'lu erkek hastalar ile erkek kontrol olgularının sol el ve her iki ellerindeki palmar a-b çizgi sayıları arasında istatistik olarak önemli fark vardır (p<0.01, p<0.05). Buna göre P.E.V.'lu erkek hastaların sol ve her iki ellerinde palmar a-b çizgi sayısı ortalamaları kontrol olgularının kine göre daha azdır.

P.E.V.'lu erkek hastalar ve erkek kontrol olgularının sağ el ve her iki ellerindeki palmar b-c çizgi sayılarının ortalama değerleri arasında istatistik olarak önemli fark saptanmıştır (p<0.001, p<0.05). P.E.V.'lu erkek hastaların sağ el, kız hastaların sol el, sağ el ve her iki ellerindeki palmar a-b çizgi sayısı ortalamaları kontrol olgularının kinden farklı bulunamamıştır (p>0.05). Ayrıca, P.E.V.'lu erkek hastaların sol el ve her

iki el, kız hastaların sol el, sağ el ve her iki ellerindeki palmar b-c çizgi sayısı ortalama değerleri kontrol olgularından farklı değildir ( $p>0.05$ ). Diğer taraftan, P.E.V.'lu erkek ve kız hastaların sol el, sağ el ve her iki ellerindeki c-d çizgi sayısı ortalamaları kontrol olgularından farklı saptanamamıştır ( $p>0.05$ ).

## **6. Avuç İçindeki Simian ve Sidney Çizgileri ve Bunların Varyantları İle İlgili Bulgular**

P.E.V.'lu erkek hastalarda sol el ve sağ elde ayrı ayrı % 6 oranında simian çizgisi görülmüştür. Erkek kontrol olgularında simian çizgisi sol elde % 0.86, sağ elde % 1.13 olarak bulunmuş, arada istatistik olarak önemli fark saptanamamıştır ( $p>0.05$ ).

P.E.V.'lu kız hastaların sağ ellerinde % 5.8 oranında simian çizgisi görülmüştür. Kontrol kız olgularının sağ ellerinde bu oran % 0.11 olarak bulunmuş, arada istatistik olarak önemli fark saptanamamıştır ( $p>0.05$ ).

P.E.V.'lu erkek hastaların sol elinde % 33.3, sağ elinde % 42.4 oranında Tip II fleksiyon çizgisi görülürken bu oran erkek kontrol olgularının sol ve sağ elinde % 0.32 bulunmuş, arada istatistik olarak çok önemli fark saptanmıştır ( $p<0.001$ ).

P.E.V.'lu kız hastaların sol ve sağ ellerinde Tip II fleksiyon çizgisi % 5.8 oranında görülmüş, kız kontrol olguların sol ve sağ ellerinde bu oran % 0.30 bulunmuş, arada istatistik olarak önemli fark saptanamamıştır ( $p>0.05$ ).

## 7. Elin Palmar Yüzeyindeki Temel Çizgi Sonlanmaları İle İlgili Bulgular

P.E.V.'lu erkek hastalar ve erkek kontrol olguların palmar temel çizgi pozisyonlarının yüzde değerleri Tablo 8'de gösterilmiştir.

P.E.V.'lu erkek hastalar ile erkek kontrol olgularının palmar temel çizgi pozisyonları arasında, istatistik olarak önemli fark vardır. Hastalarda B-temel çizgisi sol elde 5'. pozisyona daha az, sağ elde 8. pozisyona daha çok; D-temel çizgisi sağ elde 7. pozisyona daha az açılmaktadır ( $p<0.001$ ). Diğer pozisyonlar arasında önemli fark saptanamamıştır ( $p>0.05$ ).

P.E.V.'lu erkeklerin ellerinin palmar yüzeyindeki temel çizgi sonlanmalarında; A-temel çizgisinin sol elde sonlandığı pozisyonların sıklık sırası  $3 > 5' > 1 = 4$  olup, kontrol erkeklerde bu sıra  $3 > 5' > 1 > 4$  şeklindedir. Sağ elde ise hastalarda  $3 > 5' > 4 > 11$ , kontrollerde ise  $5' > 3 > 4 > 5'' > 11$  dir. B-temel çizgisinin sol elde sonlandığı pozisyonların P.E.V.'lu erkeklerdeki sıklık sırası  $5'' > 7 > 5'$  olup, kontrollerde  $5'' > 5' > 7$  şeklindedir. Sağ ellerde ise P.E.V.'lu erkeklerde  $7 > 5'' > 8$ , kontrol olgularında  $7 > 5'' > 5'$  där. C-temel çizgisinin sol eldeki sonlandığı sıkhk sırası hasta erkeklerde  $7 = 9 > 5'' > x$ , kontrollerde  $7 > 9 > 5''$ , sağ elde ise hastalarda  $9 > 7 > x > 8$  kontrollerde  $9 > 7 > 5'' > x$  pozisyonundadır. D-temel çizgisinin sol eldeki sonlandığı sıklık sırası P.E.V.'lu erkeklerde  $11 > 9 > 7 > 5''$ , kontrollerde  $9 > 11 > 7 > 10$  şeklinde sağ elde ise  $11 > 9 > 5''$ , kontrollerde ise  $11 > 9 > 7$ . yerlerdir.

P.E.V.'lu kız hastalar ve kız kontrol olgularının palmar temel çizgi pozisyonlarının yüzde değerleri Tablo 9'da gösterilmiştir.

P.E.V.'lu kız hastalar ile kız kontrol olgularının palmar temel çizgi pozisyonları arasında A-temel çizgisi sol elde 5'. pozisyona; B-temel çizgisi sol elde 5''. pozisyona daha fazla açılmaktadır ( $p<0.001$ ). Diğer pozisyonlar arasında önemli fark saptanamamıştır ( $p>0.05$ ).

P.E.V.'lu kızların ellerinin palmar yüzeyindeki temel çizgi sonlanmalarında A-temel çizgisinin sol elde sonlandığı pozisyonların siklik sırası  $5' > 3 > 4 > 1$ , kontrol grubu kızlarda bu sıra  $3 > 5' > 1 > 4$  tür. Sağ elde ise hastalarda  $5' > 3 > 4$ , kontrol kızlarda  $5' > 3 > 4 > 5''$  pozisyonundadır. B-temel çizgisinin siklik sırası P.E.V.'lu kızlarda sol elde  $5'' > 7 > 9$ , kontrollerde  $7 > 5'' > 5'$  şeklindedir. Sağ elde ise hasta kızlarda  $7 > 5''$ , kontrol grubunda  $7 > 5'' > 5'$  pozisyonundadır. C-temel çizgisinin sol eldeki sonlandığı siklik sırası hasta kızlarda  $9 > 7$ , kontrollerde  $7 > 9 > 5'' > X$  şeklindedir. Sağ elde P.E.V.'lu kızlarda  $9 > 7 > 10 > x$ , kontrollerde  $9 > 7 > 5'' > X > x$  pozisyonlarındadır. D-temel çizgisinin P.E.V.'lu kızların sol ellerinde siklik sırası  $11 > 7 = 9$ , kontrollerde  $9 > 11 > 7 > 10$  olup, hasta kızların sağ ellerinde  $11 > 7 > 9 > 8$ , kontrol kızlarda  $11 > 9 > 7 > 10$  pozisyondadırlar.

#### **8. Ayak Tabanı Örnekleri İle İlgili Bulgular**

P.E.V.'lu erkek ve kız hastalar ile erkek ve kız kontrol olgularının plantar örnek tiplerinin yüzde değerleri Tablo 10'da gösterilmiştir.

P.E.V.'lu erkek hastaların erkek kontrol olgularinkine göre sol ayaklarında I, IV ilmekleri ve f, p triradiusları, sağ ayaklarında  $\hat{II}$  ilmeği, her iki ayağında IV ilmeği ve p triradiusu çok fazla, sol ayaklarında  $\hat{I}$  ilmeği ve  $p'$  triradiusu, sağ ayaklarında h triradiusu, her iki ayağında  $\hat{I}$ ,  $\hat{III}$ ,  $\hat{V}$  ilmekleri ile  $p'$  triradiusu çok az bulunmuştur (sırası ile  $p<0.01$ ,  $p<0.001$ ,  $p<0.01$ ,  $p<0.001$ ,  $p<0.01$ ,  $p<0.001$ ,  $p<0.001$ ,  $p<0.001$ ,  $p<0.01$ ,  $p<0.05$ ,  $p<0.05$ ,  $p<0.05$ ,  $p<0.001$ )).

Tablo 1. P.E.V.U hastalar ile kontrol olgularının bütün el parmak uçlarının örnekleme sayılarının yüzde değerleri.

Örnek Tipi	P.E.V.ER (n = 33)	Kont. Er. (n = 250)	P.E.V. KIZ (n = 17)	Kont. Kız (n = 250)	P.E.V. ER+KIZLAR (n = 50)	Kont. Er.+Kızlar (n = 500)
Ulnar İlmek	40.7	52.8	38.2*	59.6	39.4#	56.2
Radial İlmek	1.8	3.6	1.7	3.3	1.8	3.4
Düğümler	55.4	40.2	55.3	32.3	55.3*	36.3
Kemerler	2.1	3.4	4.8	4.8	3.5	4.1

\* p&lt;0.05 # p&lt;0.01 • p&lt;0.001

Tablo 2. P.E.V.U ve kontrol grubu erkeklerin bireysel parmak uçlarındaki örnekleme sayılarının yüzde değerleri

Örnek Tipi	SOL EL PARMAK UÇLARI										TOPLAM		
	V			IV			III			II			
	P.E.V.ER	Kont.ER	P.E.V.ER	Kont.ER	P.E.V.ER	Kont.ER	P.E.V.ER	Kont.ER	P.E.V.ER	Kont.ER			
Ulnar İlmek	42.5*	80.4	33.3*	49.6	54.5	67.6	42.5	54.5	52.0	45.4	56.4		
Radial İlmek	0.0	0.0	0.0	0.0	9.1	0.8	3.0*	15.2	0.0	0.4	2.4		
Düğümler	57.5*	18.8	66.7*	48.4	36.4	27.4	45.4	45.6	44.8	50.4	36.9		
Kemerler	0.0	0.8	0.0	2.0	0.0	4.4	9.1	2.8	0.0	2.8	1.8		

SAĞ EL PARMAK UÇLARI

Örnek Tipi	SAĞ EL PARMAK UÇLARI										TOPLAM		
	V			IV			III			II			
	P.E.V.ER	Kont.ER	P.E.V.ER	Kont.ER	P.E.V.ER	Kont.ER	P.E.V.ER	Kont.ER	P.E.V.ER	Kont.ER			
Ulnar İlmek	36.4*	72.0	18.1#	36.0	57.6	67.6	39.4	32.0	27.3	38.4	35.7		
Radial İlmek	0.0	0.0	0.0	1.2	3.0	1.6	3.0*	16.0	0.0	0.4	1.2		
Düğümler	63.6*	27.2	81.9*	61.2	39.4	26.0	48.5	44.0	69.7	59.2	60.7*		
Kemerler	0.0	0.8	0.0	1.6	0.0	4.8	9.1	8.0	3.0	2.0	2.4		

\* p&lt;0.05 # p&lt;0.01 • p&lt;0.001

Tablo 3. P.E.V.lu ve kontrol grubu kızların bireysel parmak uçlarındaki örneklerin yüzde değerleri.

Örnek Tipi	SOL EL PARMAK UÇLARI										TOPLAM	
	V		IV		III		II		I		TOPLAM	
	P.E.V. Kız	Kont. Kız	P.E.V. Kız	Kont. Kız	P.E.V. Kız	Kont. Kız	P.E.V. Kız	Kont. Kız	P.E.V. Kız	Kont. Kız	P.E.V. Kız	Kont. Kız
Ulnar İlmek	76.5	73.6	29.4*	49.6	41.2*	68.0	17.6*	37.2	41.2	60.0	41.1	57.7
Radial İlmek	0.0	0.8	0.0	0.4	0.0	2.4	11.8	17.6	0.0	0.4	2.4	4.3
Düğümler	23.5	20.8	64.6	46.8	47.0*	22.4	64.6*	36.0	58.8*	36.4	51.7	32.6
Kemerler	0.0	4.8	6.0	3.2	11.8	7.2	6.0	9.2	0.0	2.8	4.8	5.6

Örnek Tipi	SAĞ EL PARMAK UÇLARI										TOPLAM	
	V		IV		III		II		I		TOPLAM	
	P.E.V. Kız	Kont. Kız	P.E.V. Kız	Kont. Kız	P.E.V. Kız	Kont. Kız	P.E.V. Kız	Kont. Kız	P.E.V. Kız	Kont. Kız	P.E.V. Kız	Kont. Kız
Ulnar İlmek	70.5	80.4	17.6*	50.0	47.0*	75.2	23.5	44.8	17.6*	56.8	35.2*	61.4
Radial İlmek	6.0	0.8	0.0	0.4	0.0	0.4	0.0	10.0	0.0	0.0	1.2	2.3
Düğümler	23.5	16.0	82.4*	47.2	47.0*	19.6	64.7	35.6	76.4*	42.0	58.8*	32.1
Kemerler	0.0	2.8	0.0	2.4	6.0	4.8	11.8	9.6	6.0	1.2	4.8	4.2

\* p<0.05 # p<0.01 • p<0.001

Tablo 4. P.E.V.'lu hastalar ile sağlıklı olguların el parmak uçlarındaki çizgi sayılarının ortalama değerleri.

Parmaklar SOLEL	P.E.V.'lu Erkekler (n = 33)			Kont. Erkekler (n = 250)			P.E.V.'lu Kızlar (n = 17)			Kont. Kızlar (n = 250)		
	Ortalama	Std. Sap.	Ortalama	Std. Sap.	Ortalama	Std. Sap.	Ortalama	Std. Sap.	Ortalama	Std. Sap.	Ortalama	Std. Sap.
V.	13.70±0.799	4.593	13.984±0.315	4.979	13.35±0.933	3.840	12.268±0.337	5.323				
IV.	15.27±0.916	5.264	16.612±0.329	5.196	16.35±1.976	8.147	15.008±0.403	6.371				
III.	13.39±1.192	6.846	13.672±0.373	5.904	13.94±2.172	8.955	11.652±0.392	6.191				
II.	12.24±1.069	6.139	12.280±0.405	6.398	12.29±1.717	7.078	10.956±0.408	6.444				
I.	18.15±0.855	4.912	17.792±0.378	5.972	15.12±1.306	5.384	15.572±0.355	5.605				
SAĞ EL												
V.	14.06±0.803	4.616	13.568±0.325	5.146	12.24±0.991	4.085	12.304±0.344	5.436				
IV.	15.64±0.791	4.547	16.748±0.363	5.742	16.29±1.470	6.060	15.156±0.388	6.141				
III.	13.97±0.799	4.593	13.176±0.350	5.535	14.12±1.522	6.274	11.408±0.372	5.880				
II.	13.30±1.287	7.393	12.696±0.429	6.781	14.73±1.695*	6.989	11.640±0.406	6.416				
I.	19.06±0.874	5.025	20.260±0.374	5.907	17.59±1.647	6.792	17.656±0.324	5.120				

\* p&lt;0.05

Tablo 5. P.E.V. lu hastaların ve kontrol olgularının palmar örtüklerinin yüzde değerleri.

Örnek Tipi	SOL EL			SAĞ EL			SOL-SAĞ EL			SOL EL			SAĞ EL			SOL+SAĞ EL		
	P.E.V. Er (n = 33)	Kont. Er (n = 250)	P.E.V. Er (n = 250)	P.E.V. Er Kont. Er	P.E.V. Er Kont. Er	P.E.V. Er (n = 17)	P.E.V. Kız (n = 250)	Kont. Kız (n = 250)	P.E.V. Kız (n = 17)	Kont. Kız (n = 17)	P.E.V. Kız Kont. Kız	P.E.V. Kız Kont. Kız	P.E.V. Kız Kont. Kız	P.E.V. Kız Kont. Kız	P.E.V. Kız Kont. Kız	P.E.V. Kız Kont. Kız		
<b>İlmekler</b>																		
I	9.1	4.0	3.0	1.6	6.0	2.8	0.0	2.4	0.0	1.2	0.0	0.0	3.6	3.6	3.6	3.6	3.6	
I <sup>r</sup>	6.0	7.6	3.0	2.8	4.5	5.2	0.0	5.4	0.0	2.4	0.0	0.0	8.0	8.0	8.0	8.0	8.0	
II	9.1	1.6	6.0	6.0	7.5	3.8	6.0	2.4	11.8	4.4	8.8	8.8	3.4	3.4	3.4	3.4	3.4	
II <sup>+</sup>	0.0	0.0	0.0	0.4	0.0	0.2	0.0	0.4	0.0	0.0	0.0	0.0	0.2	0.2	0.2	0.2	0.2	
III	27.2	28.4	60.6	53.2	43.9	40.8	53.0	31.6	76.4	53.2#	64.6	64.6	42.4*	42.4*	42.4*	42.4*	42.4*	
III <sup>+</sup>	0.0	1.6	0.0	0.4	0.0	1.0	6.0	1.2	6.0	0.4	6.0	6.0	0.8	0.8	0.8	0.8	0.8	
IV <sup>T</sup>	21.2	13.6	9.1	8.8	15.1	11.2	6.0	9.6	0.0	6.8	3.0	3.0	8.2	8.2	8.2	8.2	8.2	
IV	48.5	65.2	27.2	46.8#	37.8	56.0#	41.2	64.0	17.6	44.4*	29.4	29.4	54.2*	54.2*	54.2*	54.2*	54.2*	
IV <sup>r</sup>	3.0	0.0	3.0	0.8	3.0	0.4	0.0	1.1	0.0	1.2	0.0	0.0	1.4	1.4	1.4	1.4	1.4	
IV <sup>u</sup>	3.0	0.8	0.0	0.0	1.5	0.4	0.0	0.4	0.0	0.0	0.0	0.0	0.2	0.2	0.2	0.2	0.2	
H	15.1	13.2	9.1	15.2	12.1	14.2	17.6	15.6	23.5	24.0	20.5	20.5	21.8	21.8	21.8	21.8	21.8	
H <sup>+</sup>	33.3	20.0	21.2	23.6	27.2	21.8	23.5	5.6	11.8	8.0	17.6	17.6	6.8	6.8	6.8	6.8	6.8	
H <sup>r</sup>	0.0	0.4	3.0	2.2	1.5	1.0	0.0	1.6	0.0	1.0	0.0	0.0	2.4	2.4	2.4	2.4	2.4	
<b>Triradiuslar</b>																		
e	15.1	10.8	6.0	3.6	10.5	7.2	0.0	8.4	0.0	3.6	0.0	0.0	5.8	5.8	5.8	5.8	5.8	
f	3.0	2.0	0.0	0.8	1.5	1.08	0.0	1.2	0.0	0.8	0.0	0.0	1.0	1.0	1.0	1.0	1.0	
t	84.8	74.0	87.8	73.2#	86.3	73.6*	82.3	60.8#	82.3	66.4	82.3	82.3	63.6*	63.6*	63.6*	63.6*	63.6*	
t <sup>+</sup>	21.2	26.0	21.2	29.2	21.2	34.8	23.5	41.6	17.6	34.8	20.5	20.5	38.2	38.2	38.2	38.2	38.2	
t <sup>r</sup>	15.1	11.6	12.1	8.4	13.6	10.0	17.6	14.8	17.6	12.0	17.6	17.6	13.4	13.4	13.4	13.4	13.4	
t <sup>b</sup>	15.1	20.8	24.2	27.2	19.6	24.0	11.8	22.0	0.0	27.2	5.9	5.9	24.6*	24.6*	24.6*	24.6*	24.6*	
z	0.0	0.0	3.0	0.0	1.5	0.0	0.0	0.0	0.0	0.0	0.0	0.0	0.0	0.0	0.0	0.0	0.0	
z <sup>+</sup>	3.0	2.4	3.0	1.6	3.0	2.0	6.0	3.2	6.0	3.2	6.0	6.0	3.2	3.2	3.2	3.2	3.2	
z <sup>r</sup>	0.0	1.2	0.0	0.4	0.0	0.8	6.0	4.0	0.0	0.0	2.4	2.4	3.0	3.0	3.0	3.0	3.0	

\* p&lt;0.05    # p&lt;0.01    \* p&lt;0.001

Tablo 6. P.E.V.'lu erkek hastalar ve erkek kontrol olguların palmar a-b, b-c ve c-d çizgi sayıları.

Örnek Tipi	SOLEL		SAĞ EL		SOL + SAĞ EL	
	P.E.V. ER (n=33)	Kont. Er (n=250)	P.E.V. ER	Kont. Er	P.E.V. ER	Kont. Kız
a-b çizgi sayısı	<b>37,24±1,853</b>	<b>41,13±0,425</b> #	37,94±1,568	39,72±0,385	<b>76,27±1,540</b>	<b>80,85±0,759</b> *
b-c çizgi sayısı	21,82±1,695	24,34±0,510	<b>21,85±1,517</b>	<b>52,12±0,481</b> *	<b>43,67±1,596</b>	<b>49,45±0,912</b> *
c-d çizgi sayısı	30,76±2,039	32,85±0,635	32,30±1,998	34,27±0,551	64,12±1,888	67,12±1,056
*	p<0,05	# p<0,01		• p<0,001		

Tablo 7. P.E.V.'lu kız hastalar ve kız kontrol olguların palmar a-b, b-c ve c-d çizgi sayıları.

Örnek Tipi	SOLEL		SAĞ EL		SOL + SAĞ EL	
	P.E.V. Kız (n=17)	Kont. Kız (n=250)	P.E.V. Kız	Kont. Kız	P.E.V. Kız	Kont. Kız
a-b çizgi sayısı	37,53±0,936	40,36±0,419	38,12±1,021	39,18±0,371	75,65±0,967	79,54±0,719
b-c çizgi sayısı	25,53±1,399	23,97±0,544	23,71±1,827	24,12±0,546	49,24±1,617	48,01±1,003
c-d çizgi sayısı	33,87±1,178	33,07±0,684	31,94±2,234	33,84±0,642	65,82±1,768	66,91±1,207
*	p<0,05	# p<0,01		• p<0,001		

Tablo 8. P.E.V.'lu erkek hastalar ve erkek kontrol olguların palmar temel çizgi pozisyonlarının yüzde değerleri.

Pozisyon	P.E.V.* (n=33)	A-Temel çizgisi			B-Temel çizgisi			C.Temel çizgisi			D-Temel çizgisi			
		SOLEL	Sağ EL	Kont.	SOLEL	Sağ EL	Kont.	PEV.	Kont.	SOLEL	Sağ EL	Kont.	PEV.	Kont.
1	9.1	16.4	3.0	4.0	0.0	0.0	0.0	0.0	0.0	0.0	0.0	0.0	0.0	0.0
2	0.0	0.4	0.0	0.0	0.0	0.0	0.0	0.0	0.0	0.0	0.0	0.0	0.0	0.0
3	54.5	50.0	48.5	37.2	3.0	1.2	0.0	0.0	0.0	0.0	0.0	0.0	0.0	0.0
4	9.1	4.8	9.1	7.2	0.0	0.0	0.0	0.0	0.0	0.0	0.0	0.0	0.0	0.0
5	24.2	22.0	30.3	39.2	9.1	31.2*	6.0	18.0	0.0	1.2	0.0	0.0	0.0	0.0
5*	0.0	0.4	0.0	5.2	45.4	39.6	30.3	30.0	12.1	16.0	6.0	11.2	6.0	0.4
6	0.0	0.0	0.0	0.0	0.0	1.2	0.0	0.8	0.0	1.2	0.0	1.6	0.0	0.4
7	0.0	0.4	0.0	0.0	33.3	25.6	36.4	47.2	36.4	31.6	24.2	20.8	21.2	26.4
8	0.0	0.0	0.0	0.0	0.0	0.0	15.1	0.8*	0.0	1.2	6.0	0.0	0.0	1.6
9	0.0	0.0	0.0	0.0	3.0	0.4	6.0	2.4	36.4	28.4	45.4	50.8	30.3	39.6
10	0.0	0.0	0.0	0.0	0.0	0.0	0.0	0.0	0.0	3.0	0.8	0.0	0.0	3.6
11	0.0	4.0	6.0	4.8	0.0	0.0	0.0	0.0	0.0	0.4	3.0	2.0	39.4	27.6
12	0.0	0.4	0.0	0.0	0.0	0.0	0.0	0.0	0.0	0.0	0.0	0.0	0.0	0.0
13	0.0	0.4	0.0	2.0	0.0	0.0	0.0	0.0	0.0	0.0	0.0	0.0	0.0	0.4
X	0.0	0.0	0.0	0.0	0.0	0.4	0.0	0.4	3.0	0.4	0.0	9.2	0.0	0.0
x	0.0	0.0	0.0	0.4	3.0	0.0	3.0	0.0	9.1	0.0	9.1	3.2	0.0	0.0
0	0.0	0.0	0.0	0.0	0.0	0.4	0.0	0.4	0.0	0.4	0.0	0.4	0.0	0.0

\* P.E.V.'lu Erkekler

\*\* Kontrol Erkekler

# p&lt;0.05      \* p&lt;0.05      # p&lt;0.01      • p&lt;0.001

Tablo 9. P.E.V.'lu kız hastalar ve kız kontrol olgularının palmar temel çizgi pozisyonlarının yüzde değerleri.

Poziyon	A-Temel çizgisi			B-Temel çizgisi			C-Temel çizgisi			D-Temel çizgisi		
	SOL EL	SAĞ EL	P.E.V. Kont. (n=250)	SOL EL	SAĞ EL	P.E.V. Kont.	SOL EL	SAĞ EL	P.E.V. Kont.	SOL EL	SAĞ EL	P.E.V. Kont.
1	6.0	16.4	0.0	1.2	0.0	0.0	0.0	0.0	0.0	0.0	0.0	0.0
2	0.0	0.0	0.0	0.0	0.0	0.0	0.0	0.0	0.0	0.0	0.0	0.0
3	29.4	46.4	35.3	37.2	0.0	0.4	0.0	0.0	0.0	0.0	0.0	0.0
4	17.6	4.8	17.6	10.8	0.0	0.0	0.0	0.0	0.0	0.0	0.0	0.0
5	52.9	27.2*	47.0	41.2	0.0	28.0	0.0	16.0	0.0	0.4	0.0	0.0
5"	0.0	1.6	0.0	4.4	58.8	34.8*	35.3	27.2	6.0	16.4	0.0	11.2
6	0.0	0.0	0.0	0.0	0.8	0.0	0.4	0.0	0.0	0.0	0.4	0.0
7	0.0	0.4	0.0	0.4	29.4	36.0	47.0	55.6	35.3	33.2	11.8	20.8
8	0.0	0.0	0.0	0.0	0.0	0.0	6.0	0.0	6.0	0.0	6.0	0.4
9	0.0	0.0	0.0	0.0	11.8	0.0	6.0	0.8	47.0	32.0	70.5	52.0
10	0.0	0.0	0.0	0.0	0.0	0.0	0.0	0.0	0.0	11.8	0.0	6.0
11	0.0	2.0	0.0	3.6	0.0	0.0	0.0	0.0	0.0	0.0	0.8	35.3
12	0.0	0.4	0.0	0.0	0.0	0.0	0.0	0.0	0.0	0.0	0.0	0.0
13	0.0	0.8	0.0	1.2	0.0	0.0	0.0	0.0	0.0	0.0	0.0	0.4
X	0.0	0.0	0.0	0.0	0.0	0.0	0.0	0.0	0.0	10.8	0.0	7.2
x	0.0	0.0	0.0	0.0	0.0	0.0	0.0	0.0	0.0	7.2	6.0	6.8
0	0.0	0.0	0.0	0.0	0.0	0.0	0.0	0.0	0.0	0.0	0.0	0.0

\* P.E.V.'lu Kızlar

\*\* Kontrol Kızlar      \* p&lt;0.05      # p&lt;0.01      • p&lt;0.001

Tablo 10 P.E.V.'lu hastalar ve kontrol olguların plantar örtük tiplerinin yüzde değerleri.

Örnek Tipi	SOL AYAK		SAĞ AYAK		SOL+SAĞ AYAK		SOL AYAK		SAĞ AYAK		SOL+SAĞ AYAK	
	P.E.V. Er (n=33)	Kont. Er (n=250)	P.E.V. Er	Kont. Er	P.E.V. Er	Kont. Er	P.E.V. Kız (n=17)	Kont. Kız (n=250)	P.E.V. Kız	Kont. Kız	P.E.V. Kız	Kont. Kız
<b>İmekler</b>												
I	93.9	83.6#	90.9	85.6	92.4	84.6	94.1	84.0	94.1	84.0	94.1	84.0
I'	30.3	47.6#	18.1	35.6#	24.2	41.6*	0.0	40.8	0.0	37.2	0.0	39.0
II	6.0	6.8	3.0	6.4	4.5	6.6	0.0	6.8	0.0	7.2	0.0	7.0
II'	24.2	28.0	18.1	2.6#	21.1	27.8	17.6	19.6	17.6	21.6	17.6	20.6
III	57.5	56.8	63.6	61.6	60.5	59.2	70.5	52.0	70.5	58.4	70.5	55.2
III'	9.1	18.8	9.1	20.0#	9.1	19.4*	6.0	8.4	6.0	12.4	6.0	10.4
IV	45.4	14.0*	39.4	18.8#	42.5	16.4*	23.5	6.8	35.2	9.6	29.3	3.2*
IV'	6.0	2.0	6.0	3.2	6.0	2.6	6.0	2.4	0.0	1.6	3.0	2.0
V	0.0	0.4	0.0	0.0	0.0	0.2	0.0	0.0	0.0	0.0	0.0	0.0
V'	3.0	0.0	0.0	2.4	1.5	1.2	0.0	0.4	0.0	1.2	0.0	0.8
V''	9.1	18.4	9.1	20.0*	9.1	19.6*	0.0	14.0	0.0	18.1	0.0	16.2
<b>Turnuslar</b>												
e	45.4	52.8	42.5	38.8	43.9	45.8	29.4	42.4	23.5	33.6	26.4	38.0
f	99.9	84.0#	84.8	83.6	89.3	83.8	82.3	75.6	88.2	79.6	85.2	80.1
g	0.0	0.0	0.0	0.0	0.0	0.0	0.0	0.0	0.0	0.0	0.0	0.0
p	69.6	29.2*	72.7	49.6*	71.1	39.4*	82.3	22.4*	88.2	41.6*	85.2	32.0*
p'	9.1	29.2*	3.0	18.8*	6.0	24.0*	6.0	30.8*	6.0	22.4*	6.0	26.6*
p''	18.1	10.0	24.2	12.8	21.1	11.2	11.7	4.4	11.7	4.8	11.7	4.6
h	15.1	18.0	9.1	21.6#	12.1	19.8	0.0	14.4	0.0	19.2	0.0	16.8
z	42.5	41.6	45.4	44.4	43.9	43.0	17.6	31.6*	17.6	31.6	17.6	31.6
z'	9.1	11.2	15.1	9.6	12.1	10.4	0.0	7.2	0.0	9.2	0.0	8.2
z''	3.0	2.4	3.0	2.8	3.0	2.6	0.0	1.2	0.0	1.2	0.0	1.2

\* p&lt;0.05    # p&lt;0.01    • p&lt;0.001

## BÖLÜM V

### TARTIŞMA VE SONUÇ

Doğuştan el ayak kusurlarında mutad olmayan dermatoglifik örnekler saptanmış bulunmaktadır (4, 29). Bunlar ektrodaktili, polidaktili, sindaktili, simbrakidaktili gibi doğmalık el ayak kusurları ve ayrıca Holt-Oram, Poland sendromlarında gözlenmiş olan doğuştan el kusurlarıdır. Pes ekinovarus deformitesinde ayağın distalinde ekstremite anomalisi vardır ve doğuştan olan bu kusurda da normal bireylerde sık görülmeyen dermatoglifik örneklerin olması beklenir. Sunulan çalışmada dünyada ilk kez bu husus araştırılmış P.E.V.'a özgü önemli deriyamacığı bulguları saptanmıştır. Bununla beraber, istatistik olarak önemli dermatoglifik bulgular elde etmiş olmamıza rağmen, bu bulgular bazen bir cinsiyeti tutmaktadır. Bunun yanında istatistik olarak önesiz bulgular da elde edilmiştir. Her iki cinsiyetin el parmak uçlarında ulnar ilmek tiplerinin az, düğüm tiplerinin fazla, erkeklerin bireysel II. parmak uçlarında radial ilmek frekansının çok az erkek ve kız hastalarda palmar IV ilmeğinin az plantar IV ilmeği ve p triradiusunun fazla ve erkek hastalarda palmar a-b ve b-c çizgi sayısının az oluşu önemli bulgulardır. Ayrıca Tip II fleksiyon çizgisi erkeklerde önemli bulunmaktadır. Bu bulgular P.E.V. deformitesinin bir ektrodaktili veya polidaktili anomalisindeki kadar dermatoglifikleri etkileyemediğini, ancak deformiteye özgü dermatoglifik özelliklerin bulunabileceğini göstermektedir.

Holt-Oram sendromunda olduğu gibi dominant bir gen kalp kusuru yanında elde de bir anomaliye neden olabilmekte ve oluşan bu anomali yüzünden dermatoglifikler de bozulabilmektedir (29). Buna göre, tek deformite olan P.E.V.'da deformiteye bağlı çok daha fazla dermatoglifik bulgular beklenmeyeceyse de bu bulgular trizomi 21 sendromunda olduğu kadar fazla değildir. Etiyolojisinde genetik faktörlerin rolünün

ve bunun yanında genetik geçiş şeklinin kesinlik kazanmadığı deformite ile ilgili dermatoglifik, özellikle ailesel olarak dermatoglifik çalışmalar ile deformitenin etiyolojisine bu açıdan yaklaşılabileceğini göstermiş olduk.

P.E.V.'lu 6 hastamızın ebeveynleri yakın akraba evliliği yapmışlardır. Ailelerden bir tanesinde baba ve 2 kızı P.E.V. deformitesi göstermiştir. Ayrıca, bu aile ile birlikte 5 aileden kusurlu olguların kardeşlerinden birisinde P.E.V. deformitesi görülmüş olup, deformite en azından kalıtsaldır.

Yukardaki bulgulara göre ailesel bir dermatoglifik çalışma yanında yapılacak soy ağacı çalışması da deformitenin etiyolojisinin vurgulanmasında yararlı olacaktır.

## BÖLÜM VI

### ÖZET

Araştırmayı S.Ü. Tıp Fakültesi Ortopedi ve Travmatoloji Anabilim dalına başvuran 33 erkek, 17 kız toplam 50 P.E.V.'lu vaka oluşturmuştur. Kontrol gruplarını 250 erkek ve 250 kız toplam 500, 196 erkek ve 197 kız toplam 393, 1859 erkek ve 1674 kız toplam 3533 çocuk oluşturmuştur. Bu kontrol grupları Atasu ve Polat'ın kontrol gruplarıdır.

P.E.V.'lu hastaların parmak uçları, el ve ayaklarının volar yüzeyindeki dermatoglifik örnekler mürekkepli metod ile kağıt üzerine tespit edilmiştir.

El parmak uçlarındaki örnek tipleri, bireysel parmaklardaki çizgi sayıları, toplam çizgi sayısı, avuç içlerindeki örnekler, palmar a-b, b-c ve c-d çizgi sayıları, simian ve Sidney çizgileri ve bunların varyantları, ayağın plantarındaki örnekler değerlendirilmiştir. Değerlendirmede stereoskopik mikroskop kullanılmıştır.

P.E.V.'lu Erkek ve kız hastaların el parmak uçlarında ulnar ilmek tiplerinin az, düğüm tiplerinin fazla, erkek hastaların bireysel II. parmak uçlarında radial ilmek yüzdesinin çok az, erkek ve kız hastalarda palmar IV ilmeğinin az, plantar IV ilmeği ve p triradiusunun fazla, erkeklerde Tip II fleksiyon çizgisinin fazla, palmar a-b ve b-c çizgi sayısının az oluşu önemli bulgulardandır.

Hastaların soy ağacı çalışmasında akrabalık insidansı % 10 bulunmuş olup, kontrol populasyonundakine göre azdır, ancak beş ailede iki kardeşe birden deformite görüldüğünden bu anomalinin etiyolojisinde genetik faktörlerin rolü vardır.

## Dermatoglyphic findings in congenital pes equinovarus

### SUMMARY

The material consisted of 33 male and 17 female total 50 patients with pes equinovarus were admitted to the Orthopedics Department of Medical Faculty of Selçuk University. The control groups separately consisted of 250 male and 250 female (total 500) children, 196 male and 197 female (total 393) children and 1859 male and 1674 female (total 3533) children. The control groups were groups studied by Atasu and Polat.

The finger-tip, palm and sole prints of the patients with P.E.V. were taken by ink method.

The pattern types on the finger-tips, the ridge counts on the individual fingers, total finger ridge counts, palmar patterns, palmar a-b, b-c and c-d ridge counts, the simian and Sydney flexion creases and their variants, plantar patterns were studied.

The characters mentioned above were examined under stereoscopic microscope.

The most important dermatoglyphic findings observed in the patients with P.E.V. were the decreased frequency of ulnar loops, the increased frequency of whorls in both male and female patients, the increased frequency of radial loops on the second digits in males and the increased frequency of the palmar loops IV, the increased frequency of the plantar loops IV and triradii p in both males and females, the increased frequency of Type II flexion creases, the lower means of palmar a-b and b-c ridge counts.

The pedigree analyses show that the incidence of consanguinity was 10 % and was less than that of control population. However, the deformity was observed in two sibs in five families.

This finding showed that there was a role of genetic factors in the etiology of the condition as well as the dermatoglyphic findings observed in P.E.V.

## BÖLÜM VII

### LİTERATÜR

1. Alberman, E.D. (1965) The causes of congenital club foot, *Arch. Dis. Child.*, 40, 548-554.
2. Atasu, M. (1967) Türk toplumunda Down sendromluların epidermis çizgilerine bakılarak teşhis, *Çocuk Sağl. Hast. Derg.*, 10, 183-186.
3. Atasu, M. (1981) Türk çocukların derioymacığı bulguları, XX. Türk Pediatri Kongresi Tebliğler Kitabı, 609-623.
4. Atasu, M. (1983) Dermatoglyphic findings in congenital malformations of hands and feet, *Dermatoglyphics*, 11, 24-37.
5. Atasu, M. (1989) Türk çocukların derioymacığı bulguları, *Adli Tıp Derg.*, 5 (3-4), 117-129.
6. Atasu, M. (1990) Türk çocukların derioymacığı bulguları, *Adli Tıp Derg.*, 6 (1-2), 9-17.
7. Atasu, M. ve Say, B. (1970) Klinisyenlere dermatoglifik bilgiler, H.Ü. Yayınları, 11, 7-9.
8. Atasu, M., Göğüş, M.T. and Say, B. (1972) The heritability of liability to talipes equinovarus and genetic counseling, *The Turkish Journal of Pediatrics*, 14, 1, 7-12.
9. Başaran, N. (1986) *Tıbbi Genetik*, dördüncü baskı, Bilim ve Teknik Yayınevi, İstanbul.
10. Bonnevieu, K. (1924) Studies on papillary patterns of human fingers, *J. Genet.*, 15, 1-115.
11. Bonnevieu, K. (1929) Zur Mechanik der Papillarmusterbildung. I. Die Epidermis als formativer faktor in der entwicklung der fingerbeeren und der papillarmuster, *Arch. Entwickl. Organ.*, 117, 384.

12. Cummins, H. (1926) Epidermal-ridge configurations in developmental defects, with particular reference to the ontogenetic factors which condition ridge direction, *Am. J. Anat.*, 38, 89-151.
13. Cummins, H. (1936) Dermatoglyphics stigmata in mongolian idiocy (Abstract), *Anat. Rec.* 64 (Suppl 3), 11.
14. Cummins, H. (1939) Dermatoglyphics stigmata in mongoloid imbeciles, *Anat. Rec.* 73, 407-415.
15. Cummins, H. and Midlo, C. (1926) Palmar and plantar epidermal ridge configuration (Dermatoglyphics) in European-Americans, *Am. J. Phys. Anthropol.*, 9, 471-502.
16. Cummins, H. and Midlo, C. (1961) Finger prints, palms and soles: An introduction to dermatoglyphics, Blakiston, New York, Dover, Philadelphia.
17. Duraman, A., Çakırgil, G.S. ve Korkusuz, Z. (1981) *Ortopedi*, A.Ü. Tıp Fak. Yayınları, 420, 81, Ankara.
18. Hale, A.R. (1952) Morphogenesis of volar skin in the human fetus, *Am. J. Anat.*, 91, 147-173.
19. Hirsch, W. and Schweichel, J.U. (1973) Morphological evidence concerning the problem of skin ridge formation, *J. Ment. Defic. Res.*, 17, 58.
20. Holt, S.B. (1961) Quantitive genetics of finger-print patterns, *Brit. Med. Bull.*, 17, 3, 247-250.
21. Holt, S.B. (1968) The genetics of dermal ridges, Charles C. Thomas, Springfield, Illinois.
22. Mulvihill, J.J. and Smith, D.W. (1969) The genesis of dermatoglyphics, *J. Pediatr.*, 75, 579-589.

23. Ozan, K. (1988) Bilgisayar genetik kusurları ortaya çıkarmıyor, Tübítak Bilim ve Teknik Derg., 21, 247, 38-39.
24. Penrose, L.S. (1969) Dermatoglyphics, Sci. Am., 221, 72.
25. Penrose, L.S. and Loesch, D. (1969) Dermatoglyphic sole patterns: a new attempt at classification, Hum. Biol., 41, 427-449.
26. Penrose, L.S. and Loesch, D. (1970) Topological classification of palmar dermatoglyphics, J. Ment. Defic. Res., 14, 111-128.
27. Polat, M.H. (1990) Türk çocukların simian ve sidney çizgi sıklığı üzerinde çalışmalar, Yüksek Lisans Tezi, İstanbul.
28. Popich, G.A. and Smith, D.W. (1970) The genesis and significance of digital and palmar hand creases: preliminary report, J. Pediatr., 77, 1017-23.
29. Schauman, B. and Alter, M. (1990) Tıpsal Kusurlarda Deri oymacıkları. Çeviren; M. Atasu, Springer-Verlag, New York, Heidelberg, Berlin
30. Shiono, H. (1986) Dermatoglyphics in medicine, Am. J. Forensic. Med. Pathol., 7, 2, 120-126.
31. Stewart, S. F. (1954) Club-Foot: Its incidence, cause, and treatment an anatomical-physiological study, The Journal of Bone and Joint Surgery, 33-A, 3, 577-587.
32. Turco, V.J. (1981) Club foot, Churchill Livingstone Inc., New York.
33. Wynne-Davies, R. (1964) Family studies and the cause of congenital club foot, The Journal of Bone and Joint Surgery, 46-B, 3, 445-451.
34. Wynne-Davies, R. (1972) Genetic and environmental factors in the etiology of talipes equinovarus, Clinical Orthopaedics and Related Research., 84, 9-13.

## ÖZGEÇMIŞ

1961 tarihinde Mersin'de doğdum. 1972 yılında Mersin Abdulkadir Perşembe İlkokulunu, 1975 yılında Gaziantep Gazi Ortaokulunu, 1978 yılında Konya Gazi Lisesini bitirdikten sonra 1983 yılında Selçuk Üniversitesi Fen-Edebiyat Fakültesi Biyoloji Bölümünden mezun oldum. 1984-1985 yılları arasında vatanı görevimi Yedek Subay olarak İstanbul ve Ankara'da yaptım.

4 Aralık 1985 tarihinde Selçuk Üniversitesi Tıp Fakültesi Tıbbi Biyoloji ve Genetik Anabilim Dalına Araştırma Görevlisi olarak atandım. 1987 yılında Yüksek Lisansımı tamamladım. Halen anabilim dalında Öğretim Görevlisi olarak çalışmaktayım.

Evliyim ve Aslıhan adında bir kızım var.

## TEŞEKKÜR

Doktora eğitimim süresince yetişmemde, tez konumun seçiminde ve tezimin her aşamasında yardımcılarını esirgemeyen, her yönüyle kendime örnek alacağım sayın hocam Prof. Dr. Ferhan PAYDAK başta olmak üzere Anabilim dalımız öğretim üyesi hocalarımı, Prof. Dr. Metin ATASU, Prof. Dr. Engin ÖZHATAY, Prof. Dr. Ayşe BAŞARAN, Prof. Dr. Nurettin BAŞARAN, Prof. Dr. İşık BÖKESOY, Doç. Dr. Abdurrahman KUTLU ve Yard. Doç. Dr. M. Kâzım KARA'ya sonsuz saygı ve şükranlarımı sunarım.

Tezimin hazırlanması sırasında yardımcılarını esirgemeyen Sağlık Bilimleri Enstitüsü Müdürlüğüne, S.Ü. Rektörlüğü Araştırma Fonuna bütün hocalarımı, doktor arkadaşlarımı, hastalarımı, tezimin yazımında büyük emekleri olan Emre Grafik personeline, her zaman büyük desteklerini gördüğüm aileme ve eşim Nilgün TURHAN'a en içten teşekkürlerimi sunarım.